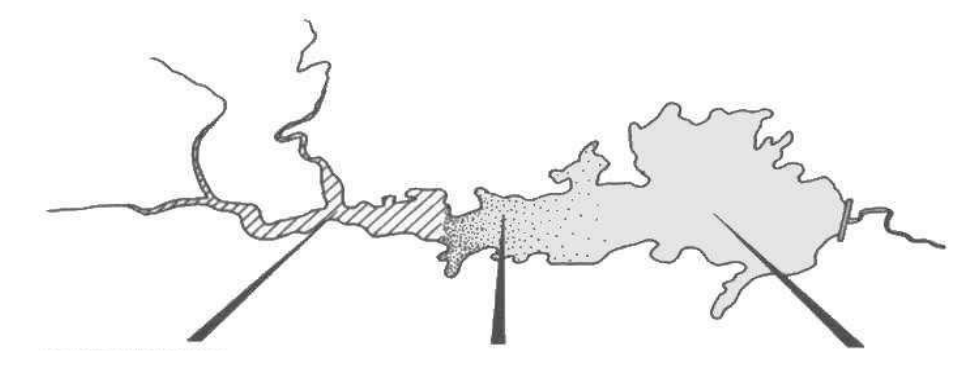


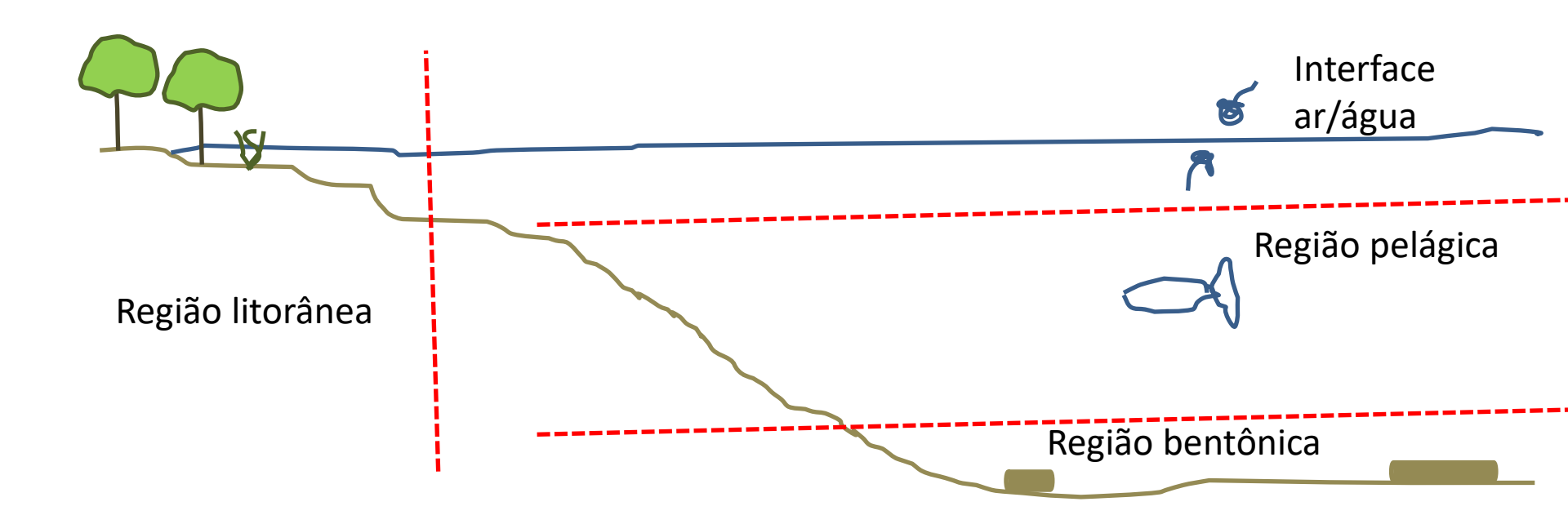
#### Na última aula....



Zona de rio

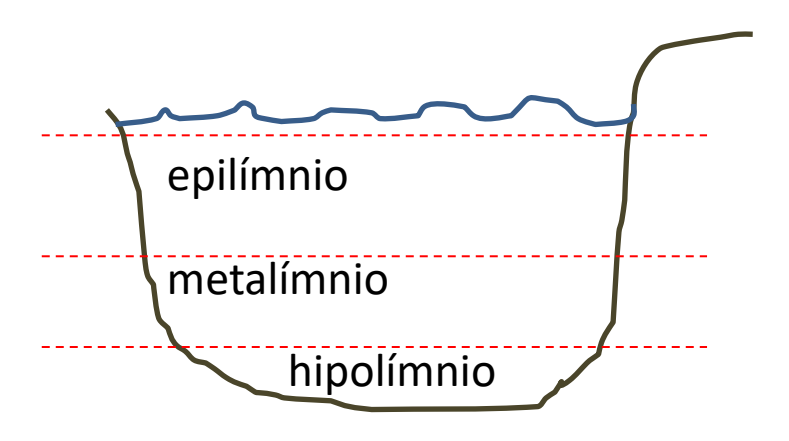
Zona de transição Zona lacustre

#### Vimos Também



### Parte vertical (perfil)

- Epilímnio;
- Metalímnio;
- Hipolímnio.



#### Influenciados pelo vento

- Circulação da água;
- Desestratificação térmica;
- Oxigenação;
- Etc.

### Pq o vento influencia?

 Provoca o deslocamento da camada superior da coluna d'água



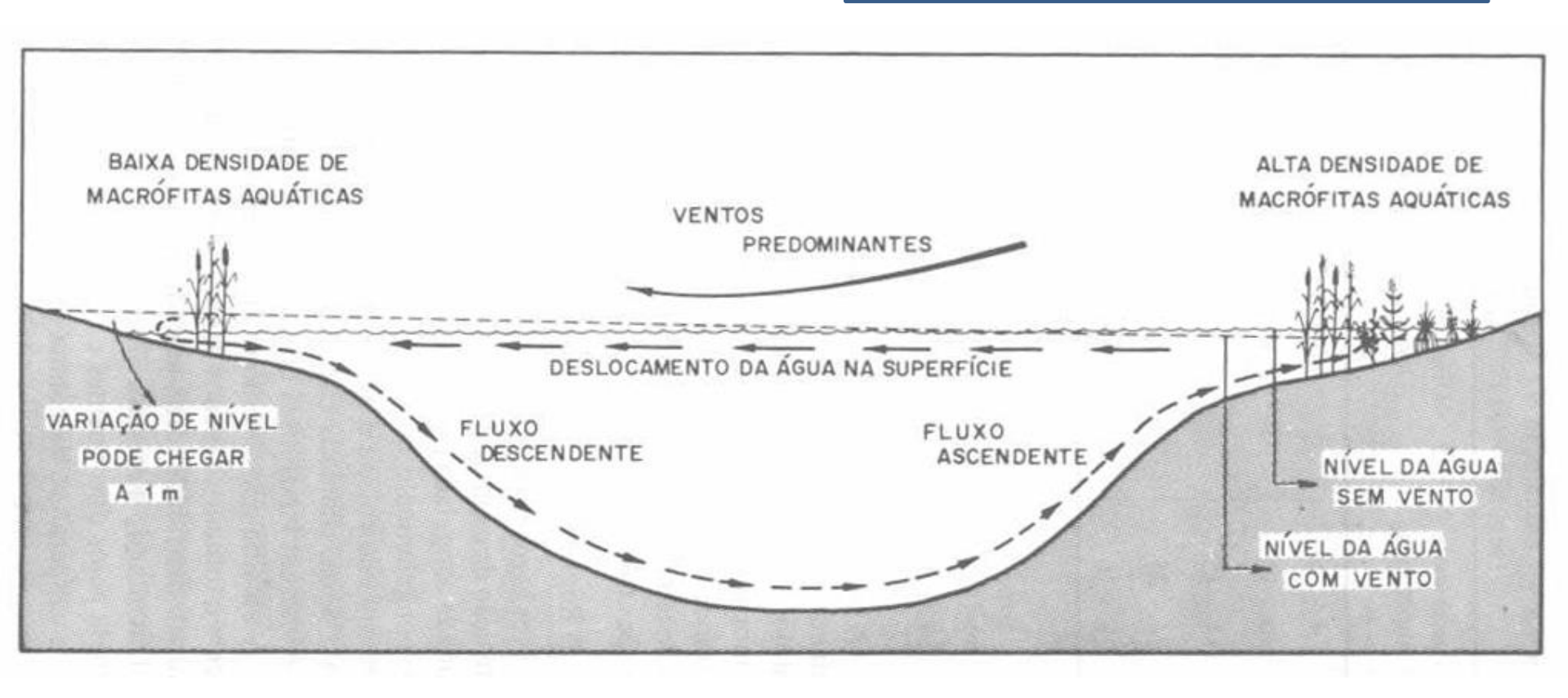
Acompanha a circulação do vento

 A massa de água superficial em deslocamento será substituída pela massa inferior, numa tendência de circulação.





#### Instabilidade térmica





Isso ocorre apenas se o vento for superior à resistência oferecida pelas diferentes camadas de água.

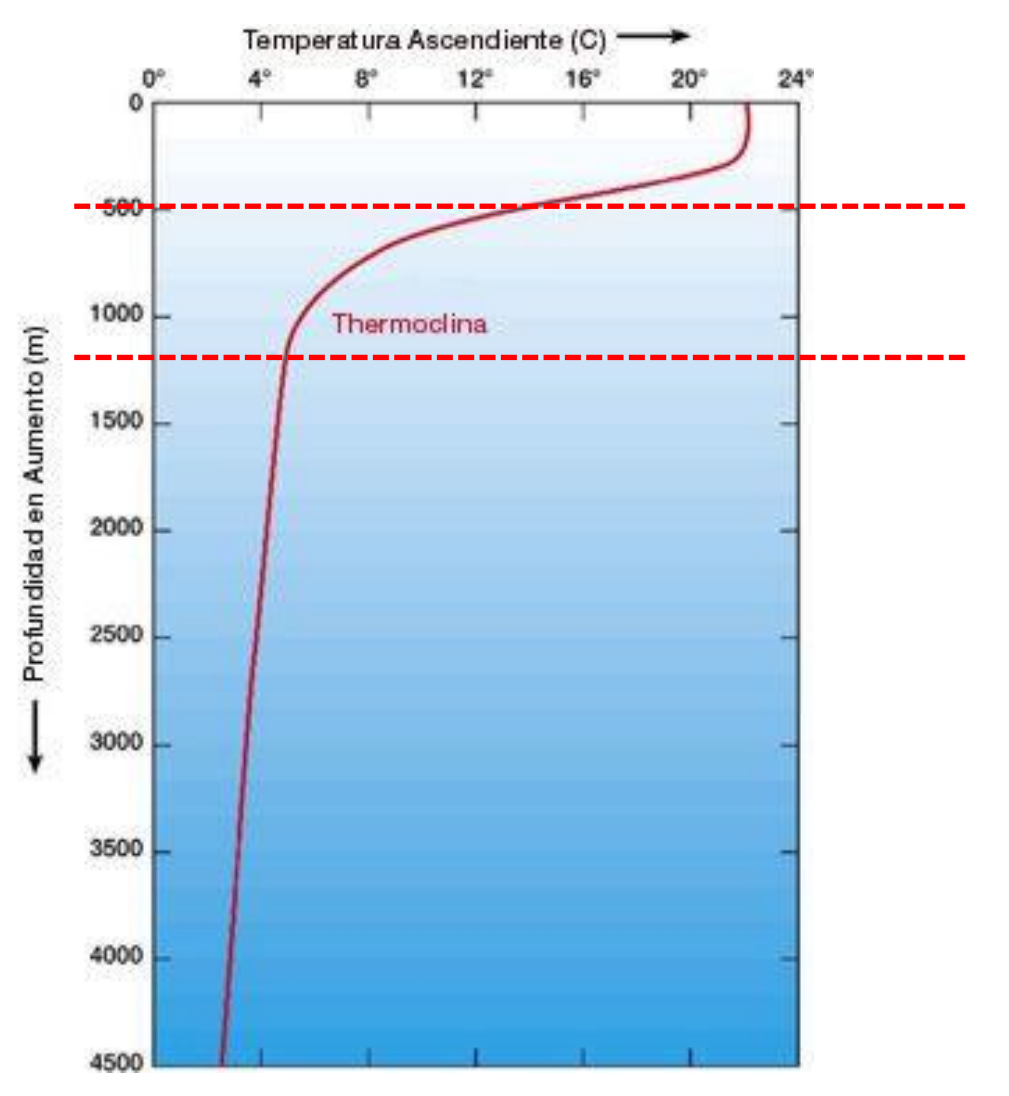
 Por outro lado, quando diferenças de temperaturas geram camadas com diferentes densidades (já é uma barreira física que impede a mistura), e a energia dos ventos não for suficiente para misturá-las, cria-se uma condição de "estabilidade térmica".



Quando isso ocorrer, o ambiente está estratificado termicamente



Efeito da temperatura sobre a densidade da água



Variação da temperatura na camada de água

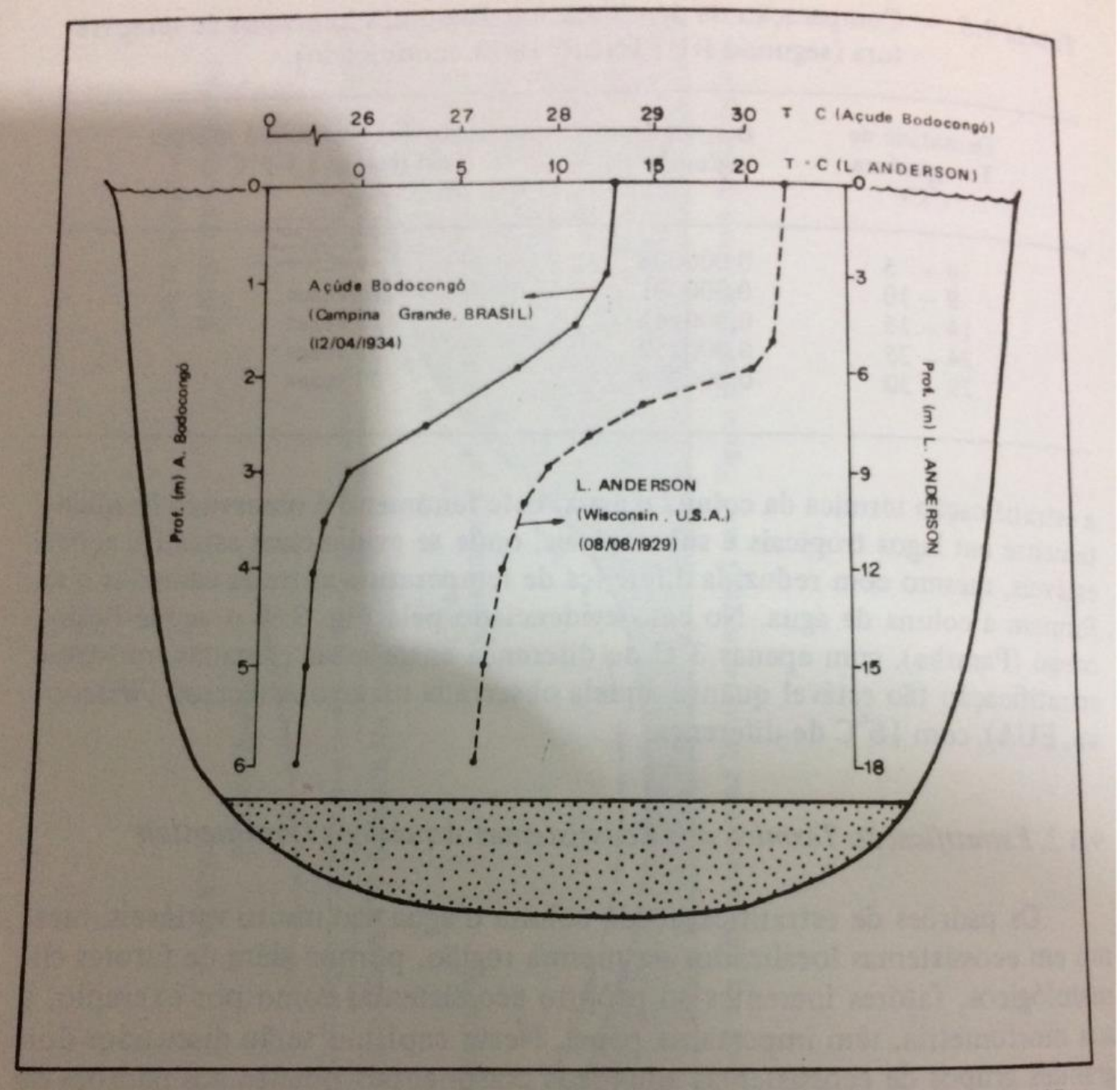


Fig. 9.9 — Comparação entre o padrão de estratificação térmica entre lago de região tropical e temperada. Observa-se a diferença de escalas utilizadas. Modificado de WRIGHI (1937)

# Efeito diferente em regiões de clima temperado e tropicais

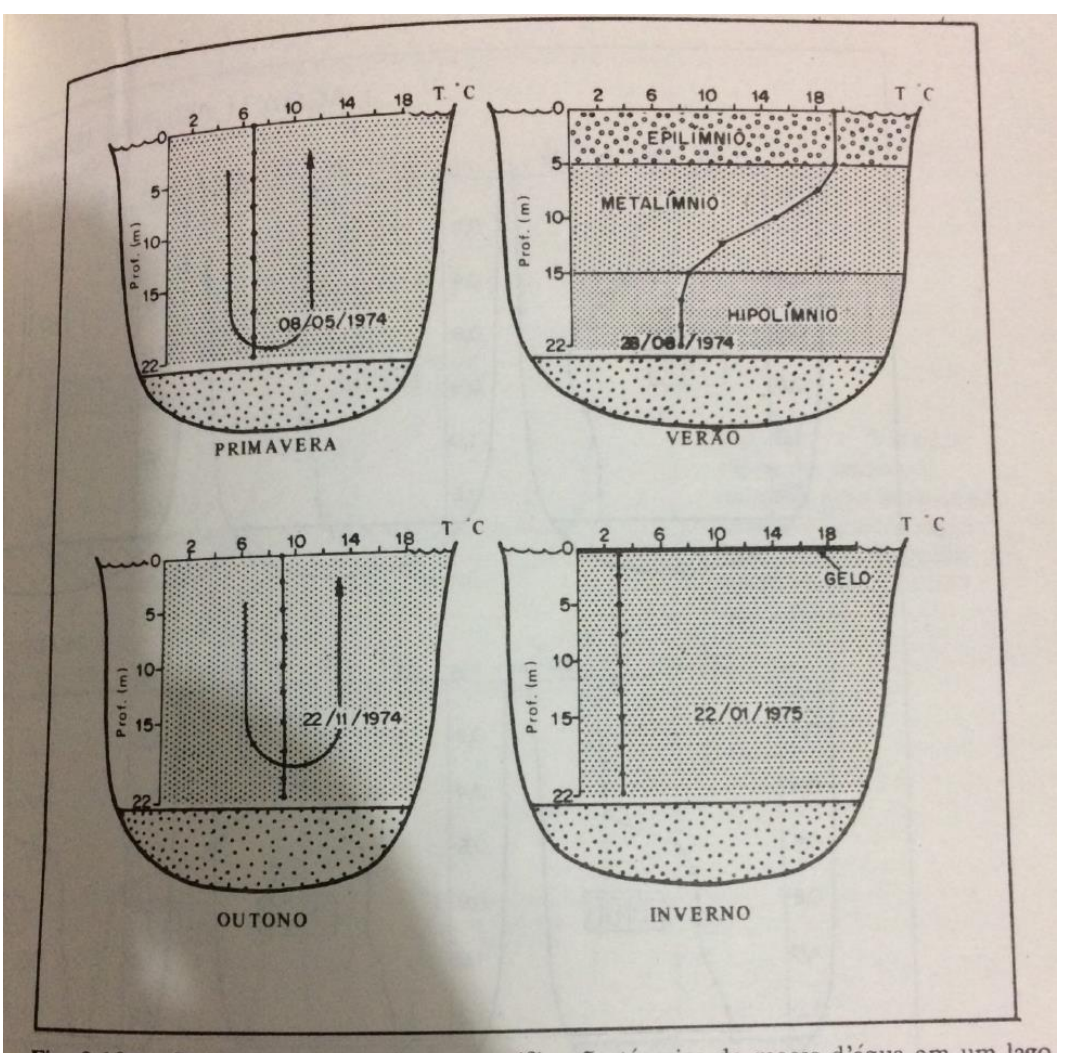
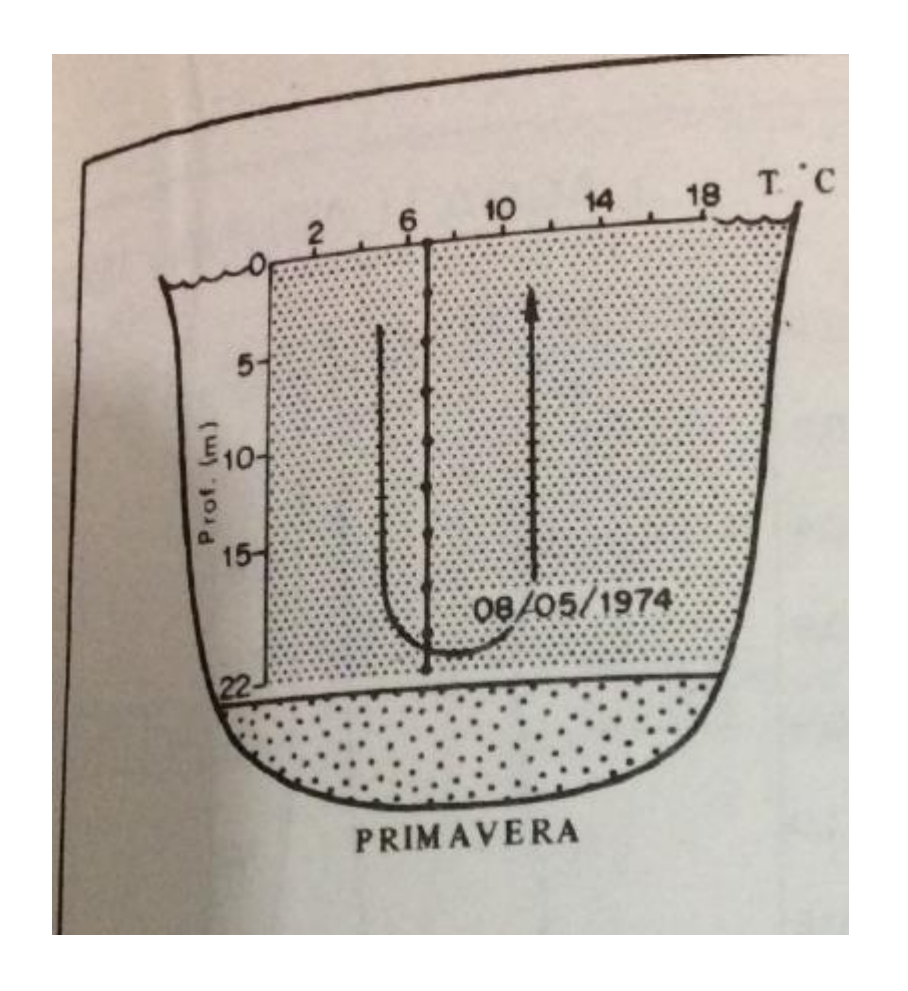


Fig. 9.10 — Padrão de circulação e estratificação térmica da massa d'água em um lago temperado, lago Schöh (Alemanha). A partir de dados de MÜLLER (1977a)

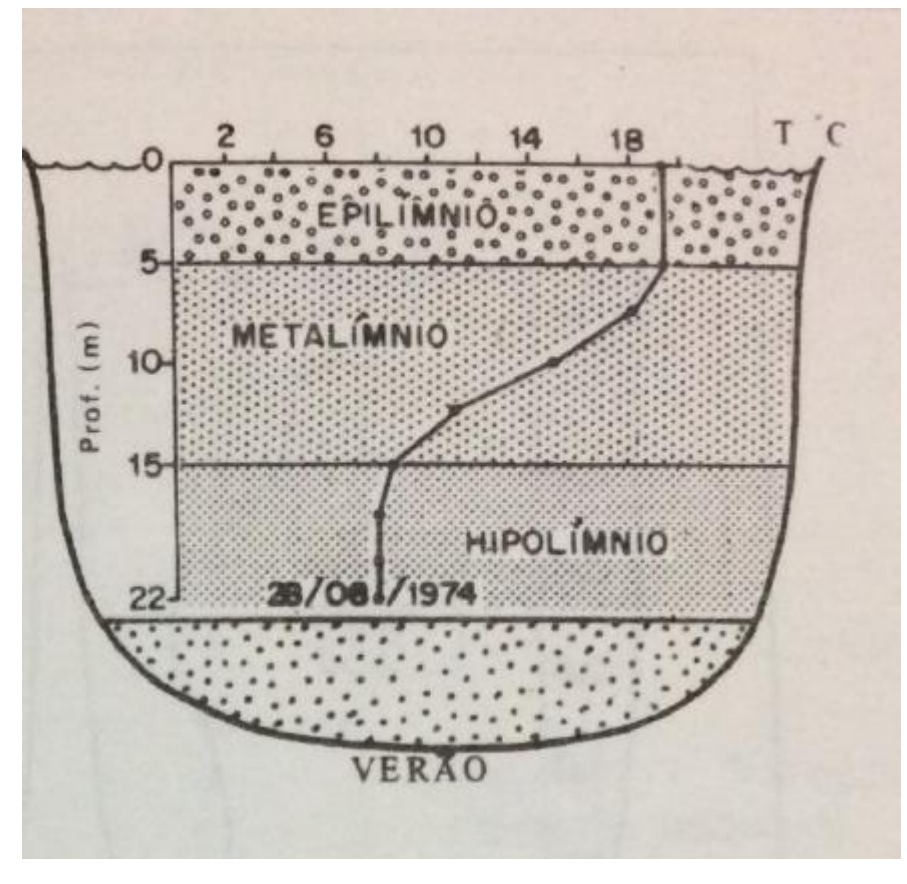


Primavera → Derretimento camada de gelo (formada inverno). Como a massa de água abaixo da camada congelada está ao redor de 4°C, o gelo derretido logo atinge a temperatura, provocando uma homotermia da coluna d'água, e consequente, circulação total.





Mais eficaz em lagos rasos à lagos profundos

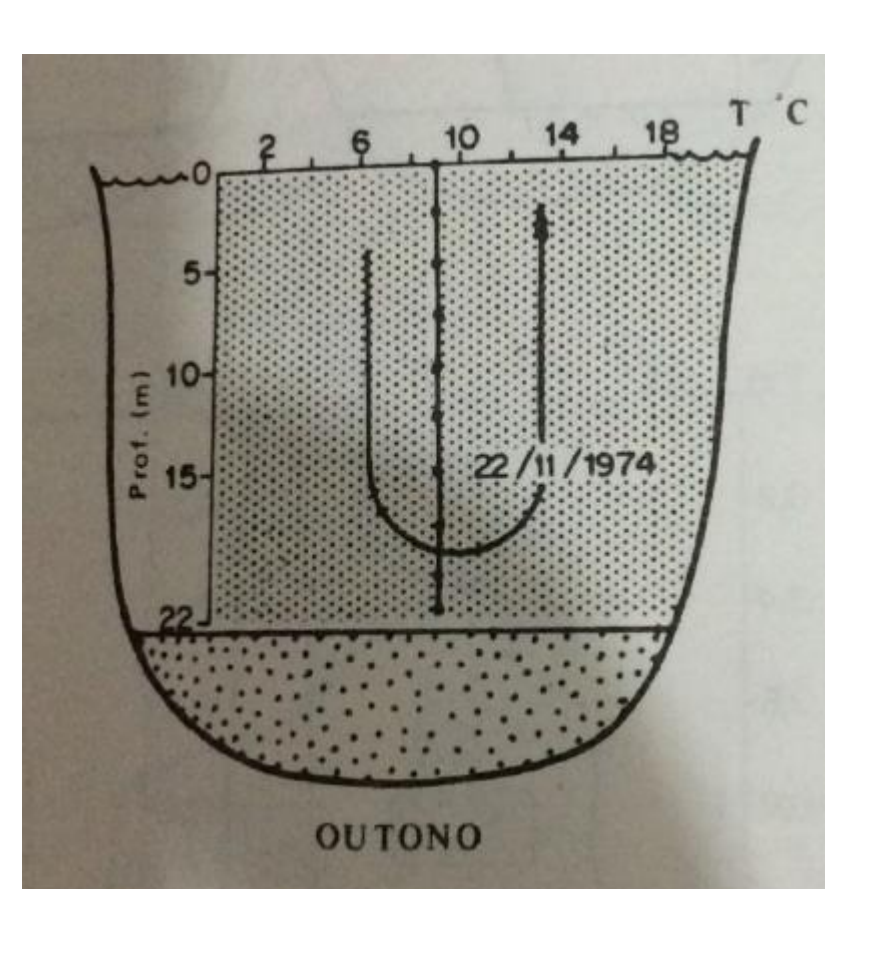




Situação facilitada pelos dias quentes e com poucos ventos

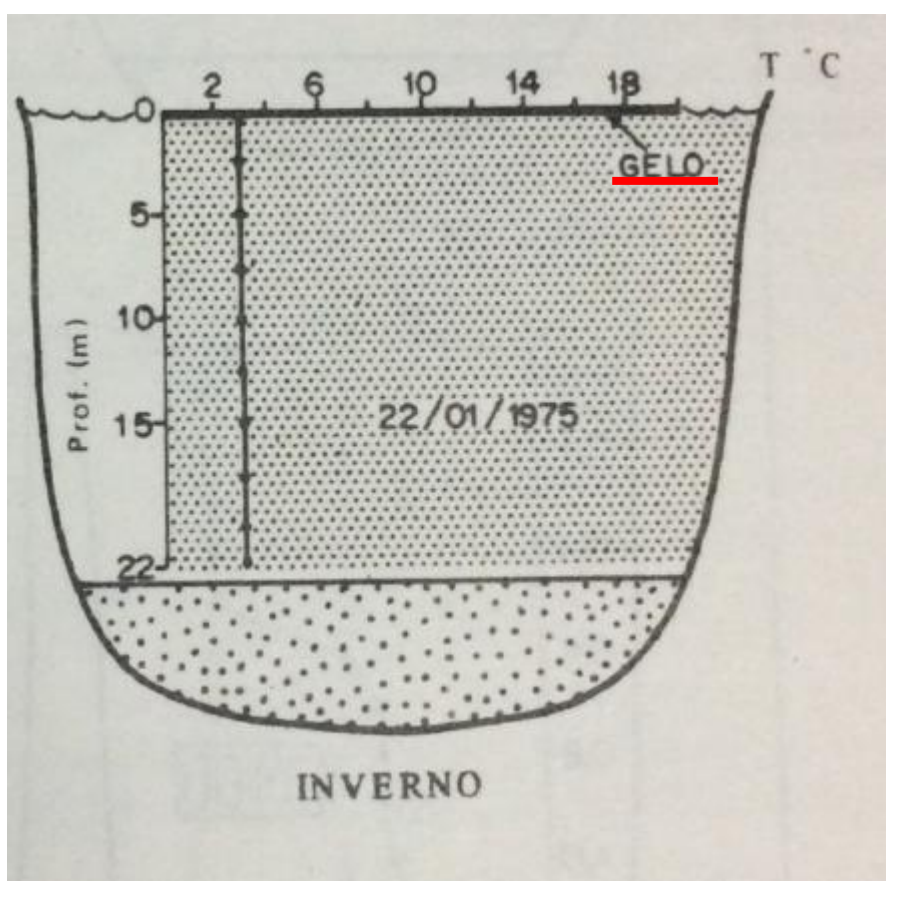
Verão → À medida que o verão se aproxima, as camadas superficiais dos lagos se aquecem e se tornam menos densa que as de baixo. Essa diferença se torna cada vez mais acentuada dificultando a mistura.





<u>Outono</u> → redução da radiação solar e perda da energia para atmosfera. A densidade da água epilímnio aumenta, chegando a valores idênticos hipolímnio. Como consequência, o metalímnio se incorpora ao epilímnio. Quebra a estratificação térmica do verão e inicia a circulação de outono.





Inverno → Congela a camada superior da massa d'água, enquanto as camadas inferiores permanecem com temperatura próxima a 4°C. Dessa forma, são formadas duas camadas de água e apenas a inferior circula.



Estratificação inversa → mais frio em cima

### Regiões tropicais

Fenômenos de estratificação térmica ocorrem de maneira diferenciada (temperados).



Pode ocorrer estratificação e desestratificação diárias da coluna d'água;



Estratificação durante primavera, verão e outono e desestratificação no inverno;

Maioria dos lagos regiões tropicais têm profundidades reduzidas, o que contribuiu para esses modelos.

#### Lagos da Amazônia



Estratificação durante o dia



Desestratificação durante a noite -> perde calor para atmosfera



Pequena diferença de temperatura entre epi e hipolímnio

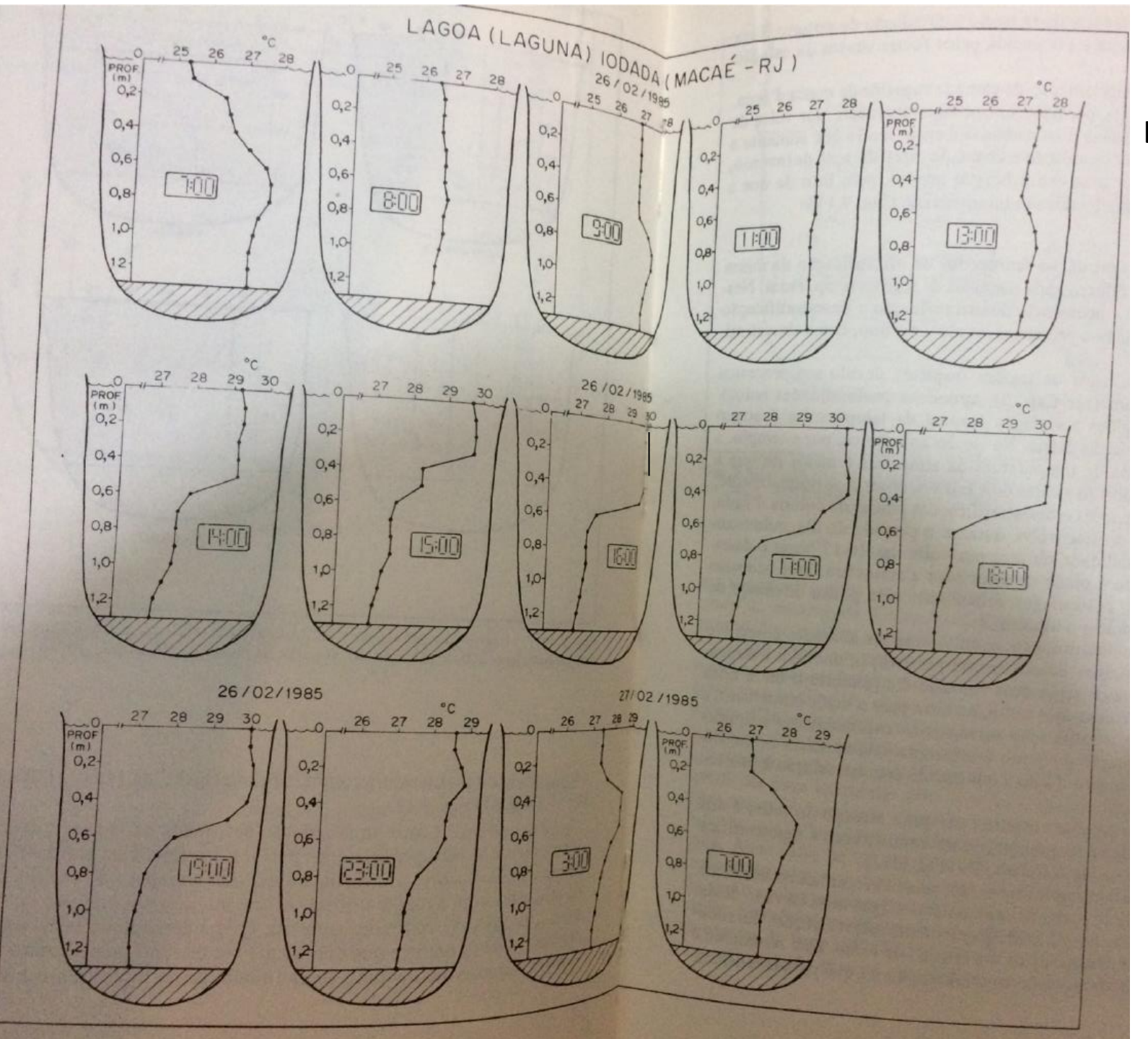
#### Lagos costeiros



Ventos mudam de direção até duas vezes ao dia



Desestratificação permanente



Lagoa costeira

- O período de verão, nas regiões tropicais, coincide com o período de maior chuva;
- A temperatura da água não varia muito e a água não perde calor, mesmo na madrugada;
- Nestes casos as estratificações são duradouras e podem permanecer durante toda a estação;
- Outro fator que dificulta a desestratificação térmica é em lagos profundos com pouca influência de ventos.



Permanecem estratificados a maior parte do ano; Desestratifica no inverno;



Resfria epilímnio em seguida o metalímnio e finalmente toda a coluna d'água.

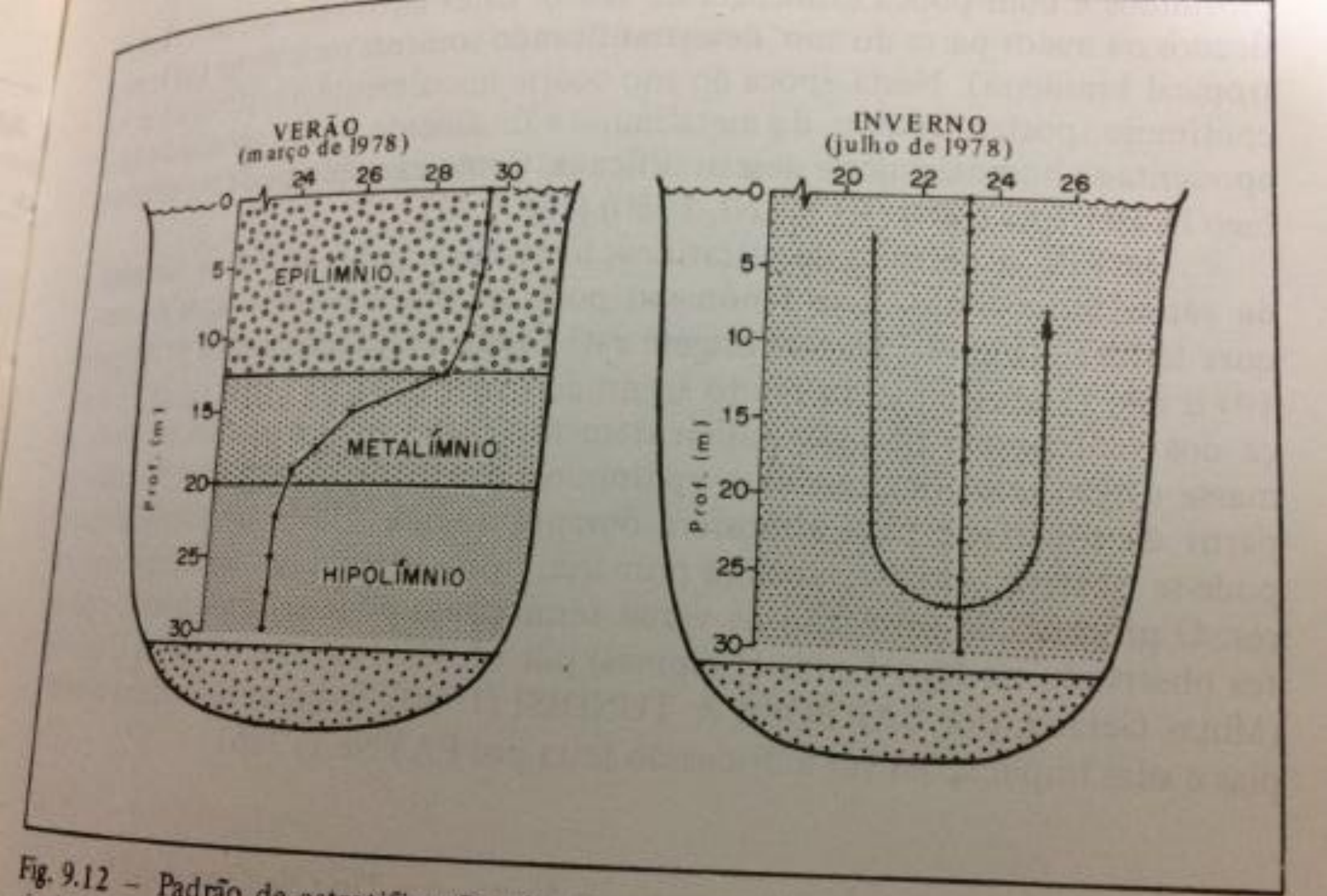
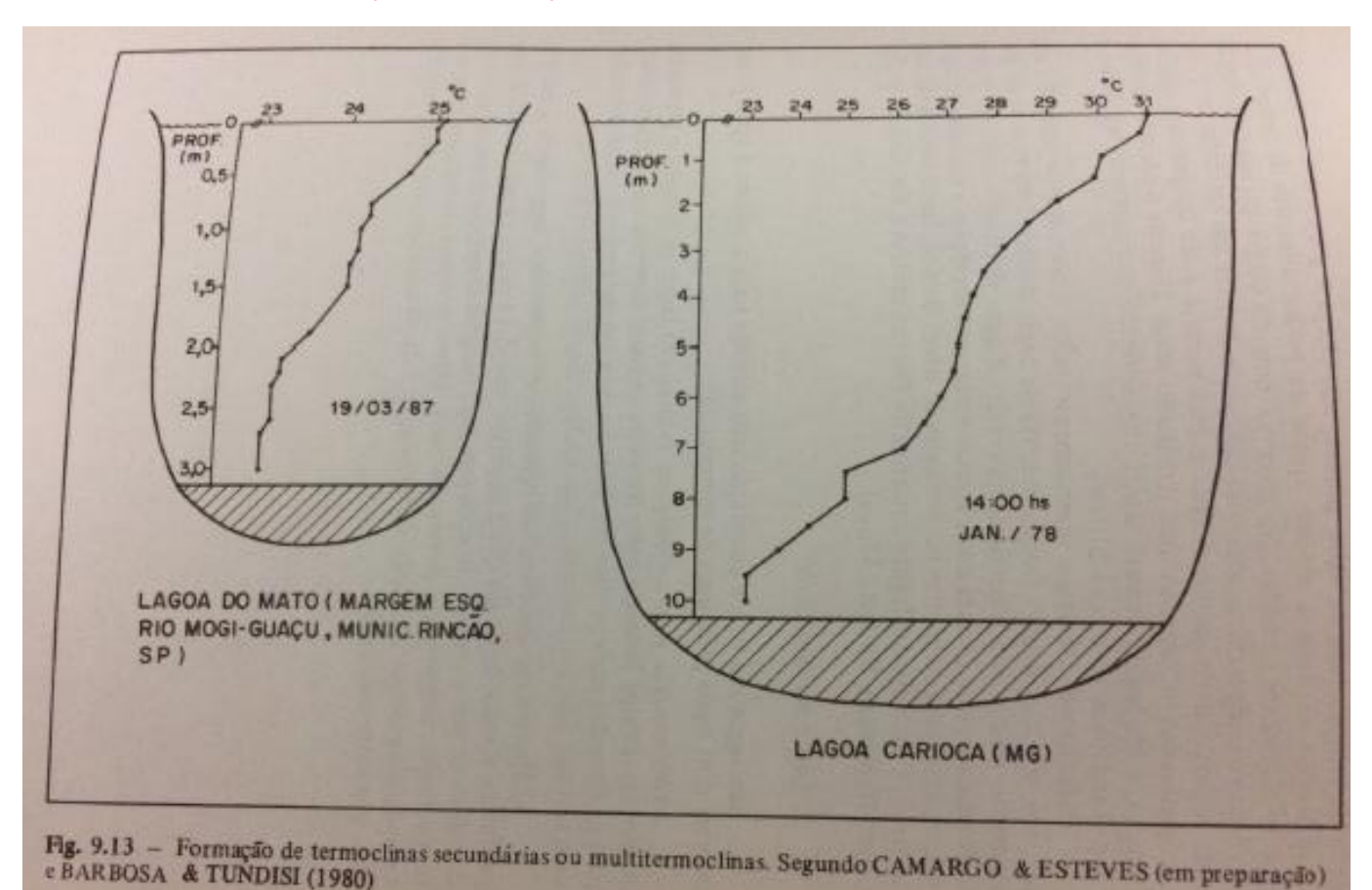


Fig. 9.12 - Padrão de estratificação térmica em lago tropical profundo (lago D. Helvécio, MG). Modificado de RUGANI (1980)

## A termoclina é o principal indicativo de estratificação.



Pode ser primária (efeito maior), com várias secundárias (menores)



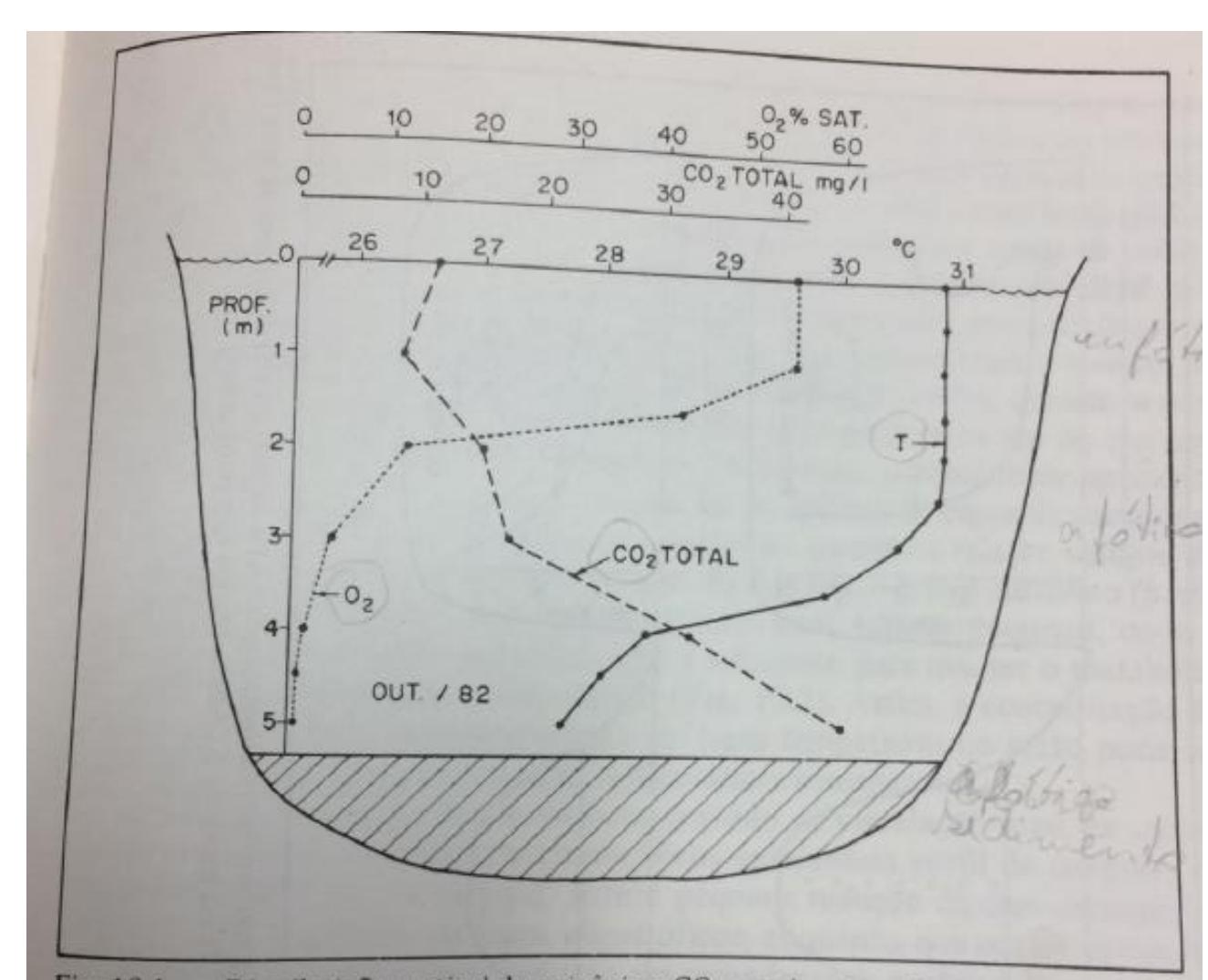
# Perfil dos lagos com relação ao oxigênio dissolvido

 A concentração de oxigênio dissolvido nas diferentes profundidades dos lago está relacionada com:

- Processos de estratificação e desestratificação;
- Circulação vertical e sua eficiência;
- Distribuição vertical e a atividade de organismos.

Padrão de distribuição inverso ao gás carbônico

### Distribuição vertical O<sub>2</sub> e CO<sub>2</sub>



Mesmo em lagos rasos

Fig. 10.1 — Distribuição vertical de oxigênio e CO<sub>2</sub> total no lago Curuçá (lago de várzea do rio Trombetas, Pará). Modificado de CAMARGO & MIYAI (1988)

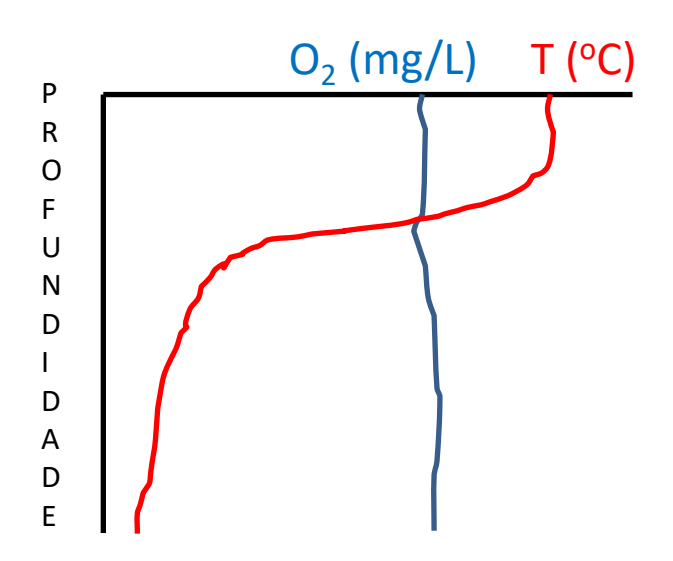
 Em lagos baixa produtividade primária (baixa [ ] fitoplâncton):



O<sub>2</sub> dissolvido distribui-se aproximadamente de uma forma uniforme até o fundo;



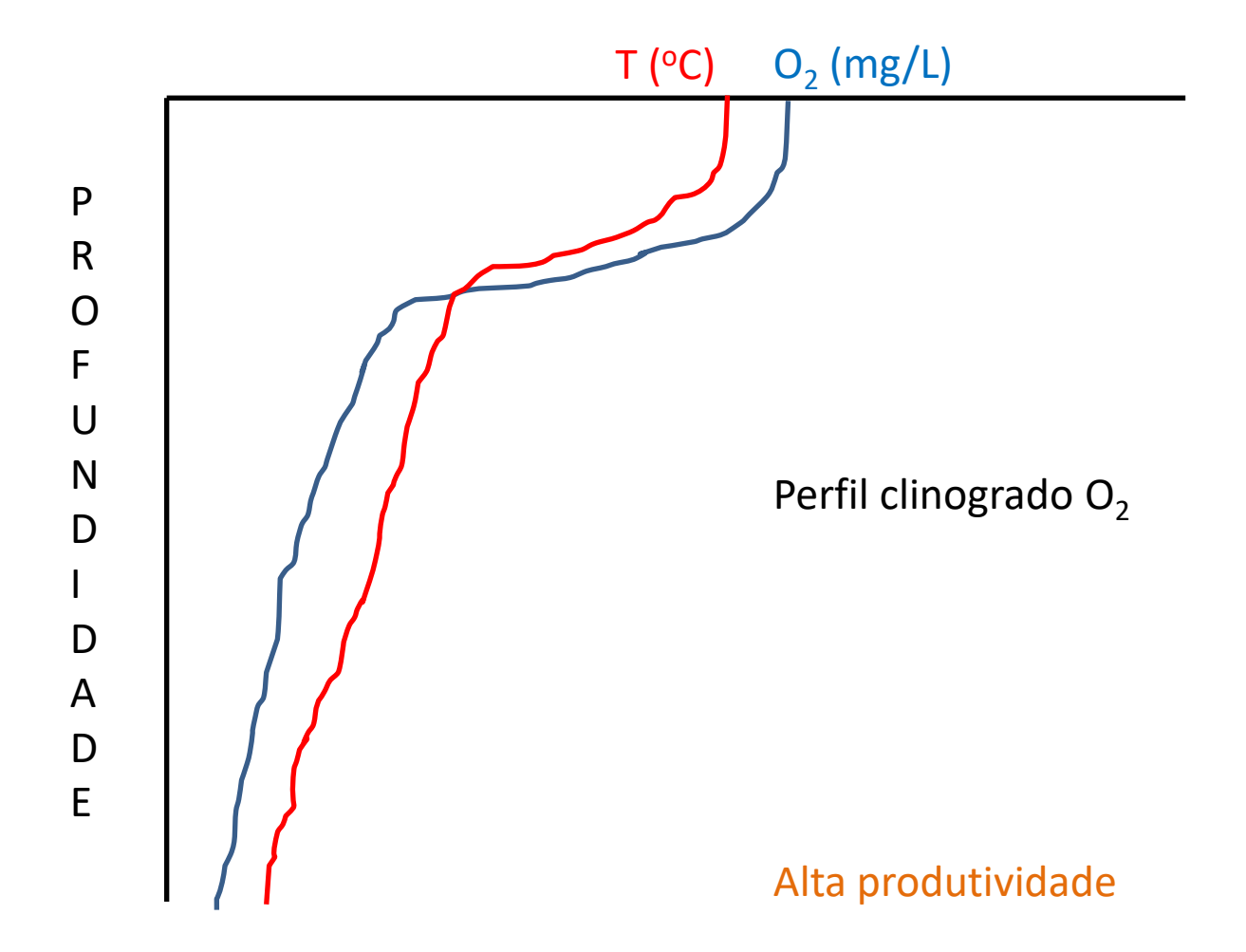
Esse tipo de distribuição vertical é denominado de perfil ORTOGRADO.



Perfil ortogrado de 0<sub>2</sub>

Baixa produtividade

- Em lagos com maior produtividade, com a estratificação de verão:
  - Distribuição vertical marcada por hipolímnio anóxico;
    - Acúmulo material em decomposição é alto no hipolímnio e o consumo O<sub>2</sub> também é elevado
  - Epilímnio com concentração próxima a saturação ou supersaturação;
  - Esta distribuição é denominada clinograda.



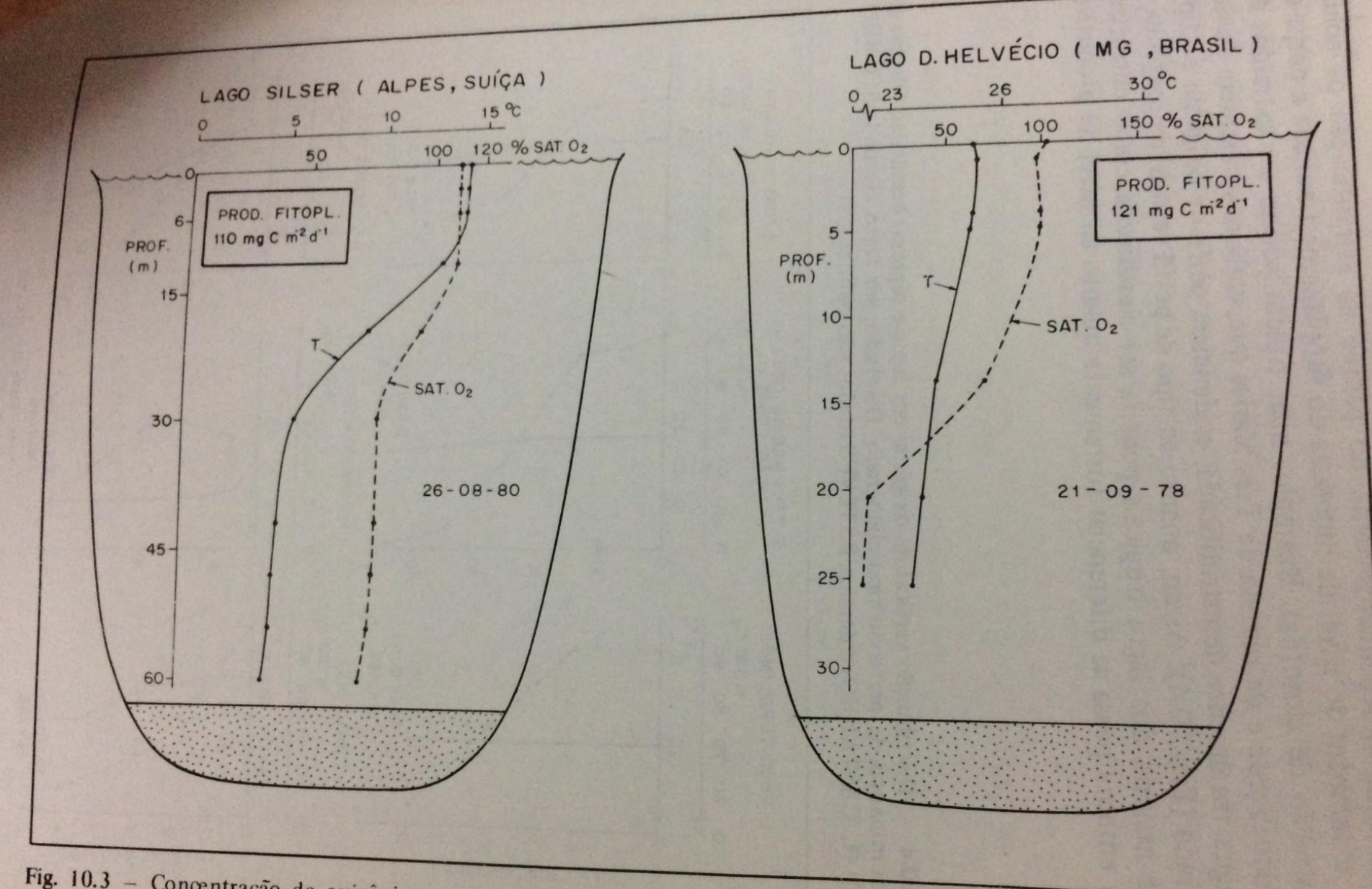
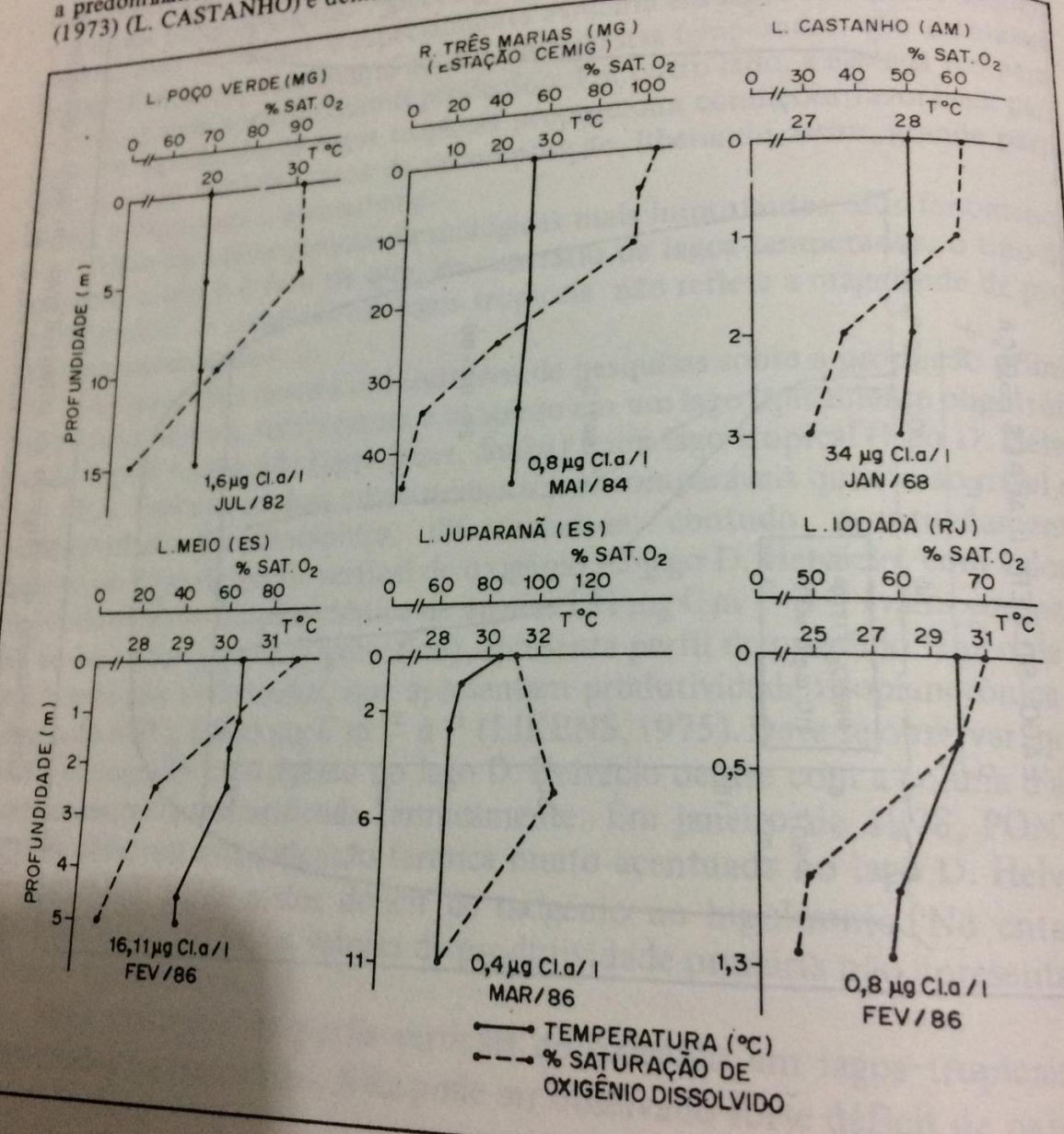


Fig. 10.3 — Concentração de oxigênio na coluna d'água em lago oligotrófico de região de clima temperado e tropical. partir de BLOESCH (dados não publicados), modificado de PONTES (1980)

Fig. 10.4 – Distribuição vertical de oxigênio em lagos e represas brasileiras. Observa-se Fig. 10.4 — Distribuição vertical de oxigento em lagos o represas orasneiras. Observa-se a predominância de perfis do tipo clinogrado. Discussão, ver texto. Segundo SCHMIDT a predominância de perfis do tipo clinogrado publicados) a predominância de pertis do tipo emiogrado. Discussão, ver texto. (1973) (L. CASTANHO) e demais, ESTEVES (dados não publicados)



Qual a denominação de cada lago, com relação ao O<sub>2</sub> e temperatura?

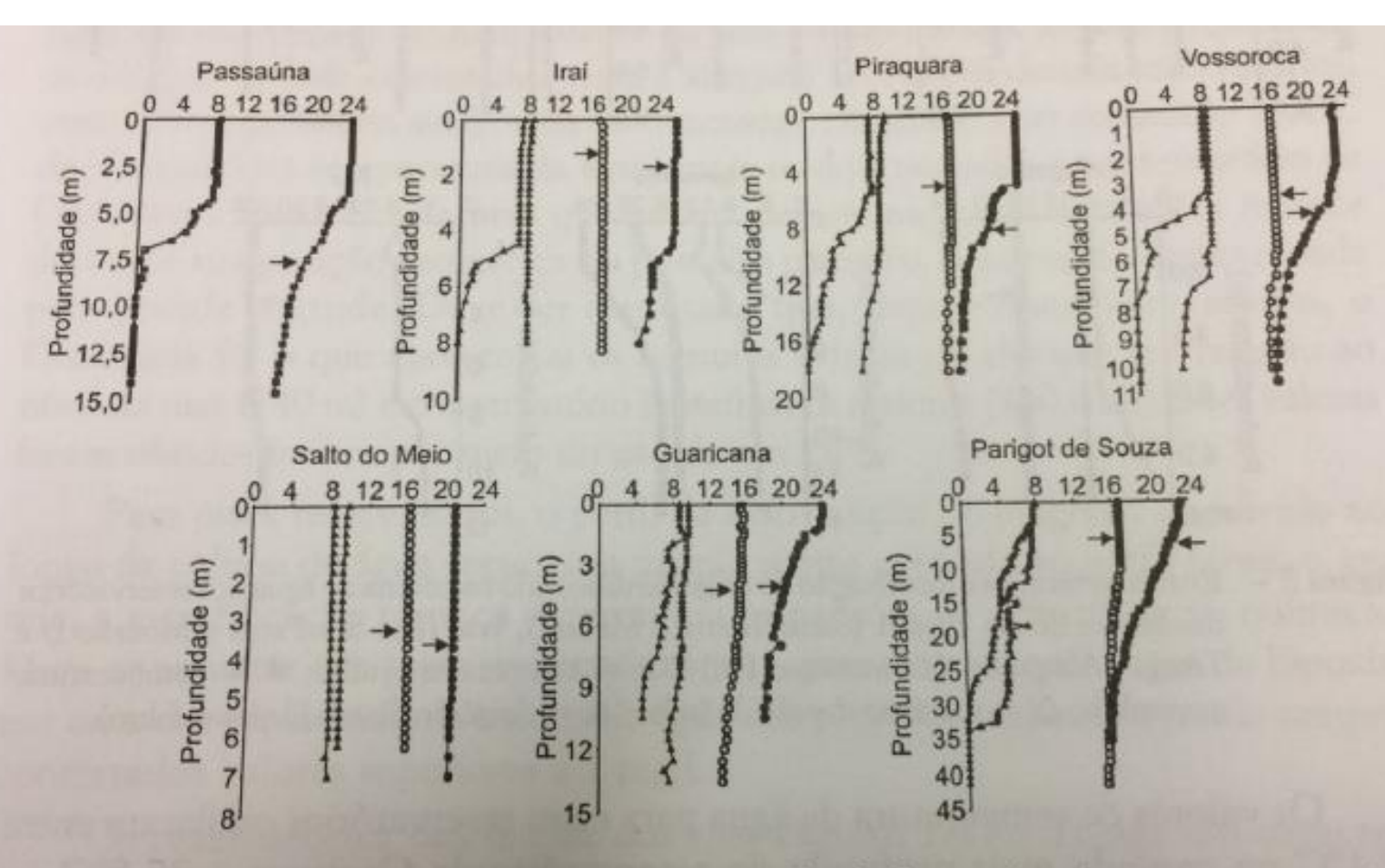


Figura 4 – Estrutura térmica e distribuição do oxigênio dissolvido na coluna de água nos reservatórios que drenam para o Oceano Atlântico (○ = temperatura/julho; ● = temperatura/novembro; △ = oxigênio dissolvido/julho; ▲ = oxigênio dissolvido/novembro).

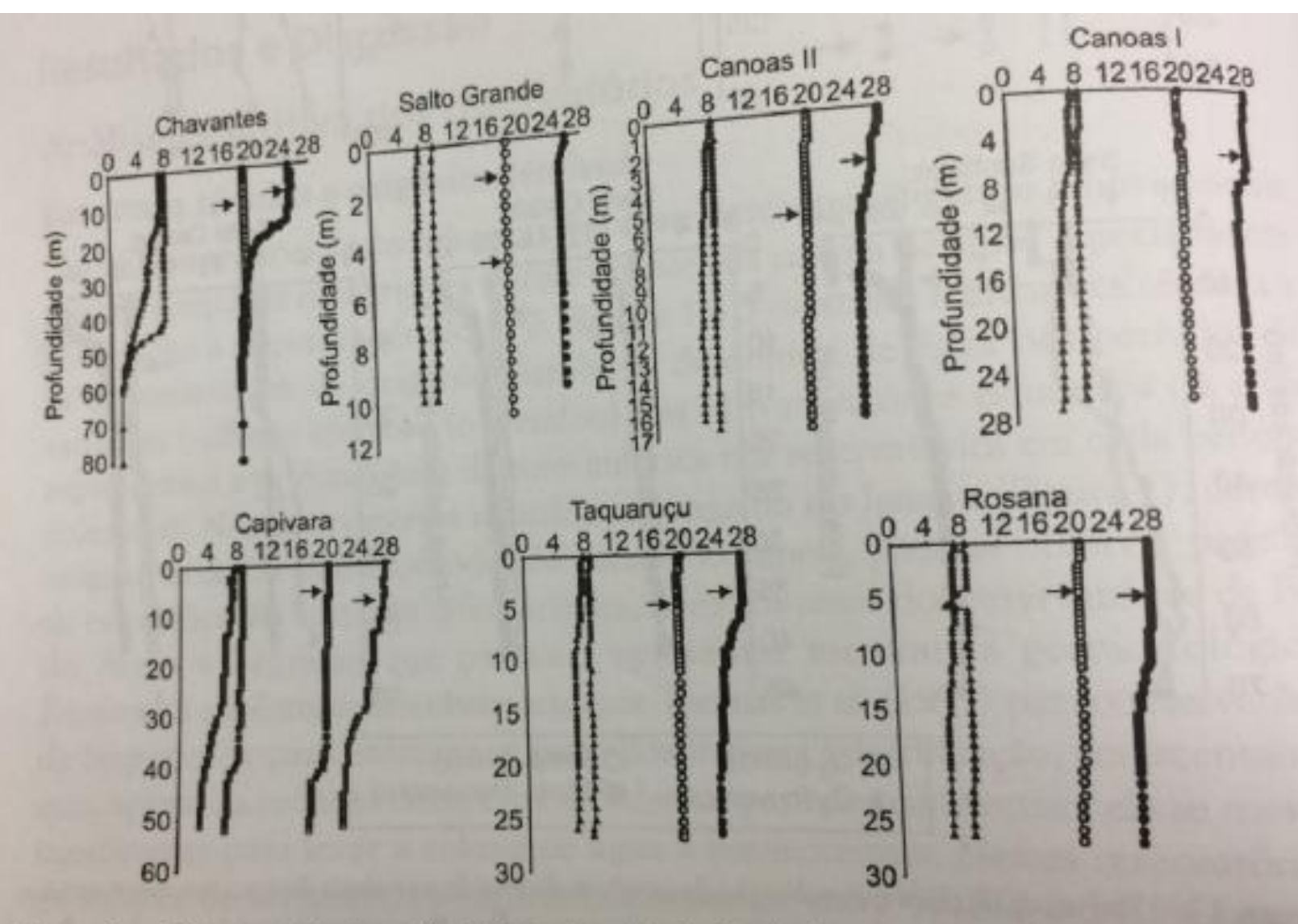


Figura 3 – Estrutura térmica e distribuição do oxigênio dissolvido na coluna de água nos reservatórios localizados no rio Paranapanema (○ = temperatura/julho; ● = temperatura/novembro;
△ = oxigênio dissolvido/julho; ▲ = oxigênio dissolvido/novembro).

# Matéria orgânica como controlador indireto do O<sub>2</sub>

 Os brejos ao lado dos lagos (principalmente rasos), produzem grande quantidade de biomassa no período de seca;

 No período das cheias, são carreadas para o interior dos lagos, gerando grande acréscimo de matéria orgânica para o ecossistema aquático;

 O ecossistema necessitará grande quantidade O<sub>2</sub> para decompor essa matéria orgânica; No período de cheia também ocorre menor taxa de fotossíntese pelo fitoplâncton (redução da transparência da água).



Essa baixa  $[\ ]$  de  $O_2$  durante o período de cheia, tem diversas implicações sobre o metabolismo do ecossistema aquático.



Alterações na fauna bentônica, zooplanctônica, e algas;



Fósforo e nitrogênio.

Nitrogênio → No período de cheias, (Howard-Williams et al. (1980), determinaram que 92% do nitrogênio estava em forma de amônio em uma lagoa ligada ao rio Mogi-Guaçu.



Alta concentração amônio devido à baixa eficiência do processo de nitrificação quando há déficit de O<sub>2</sub>

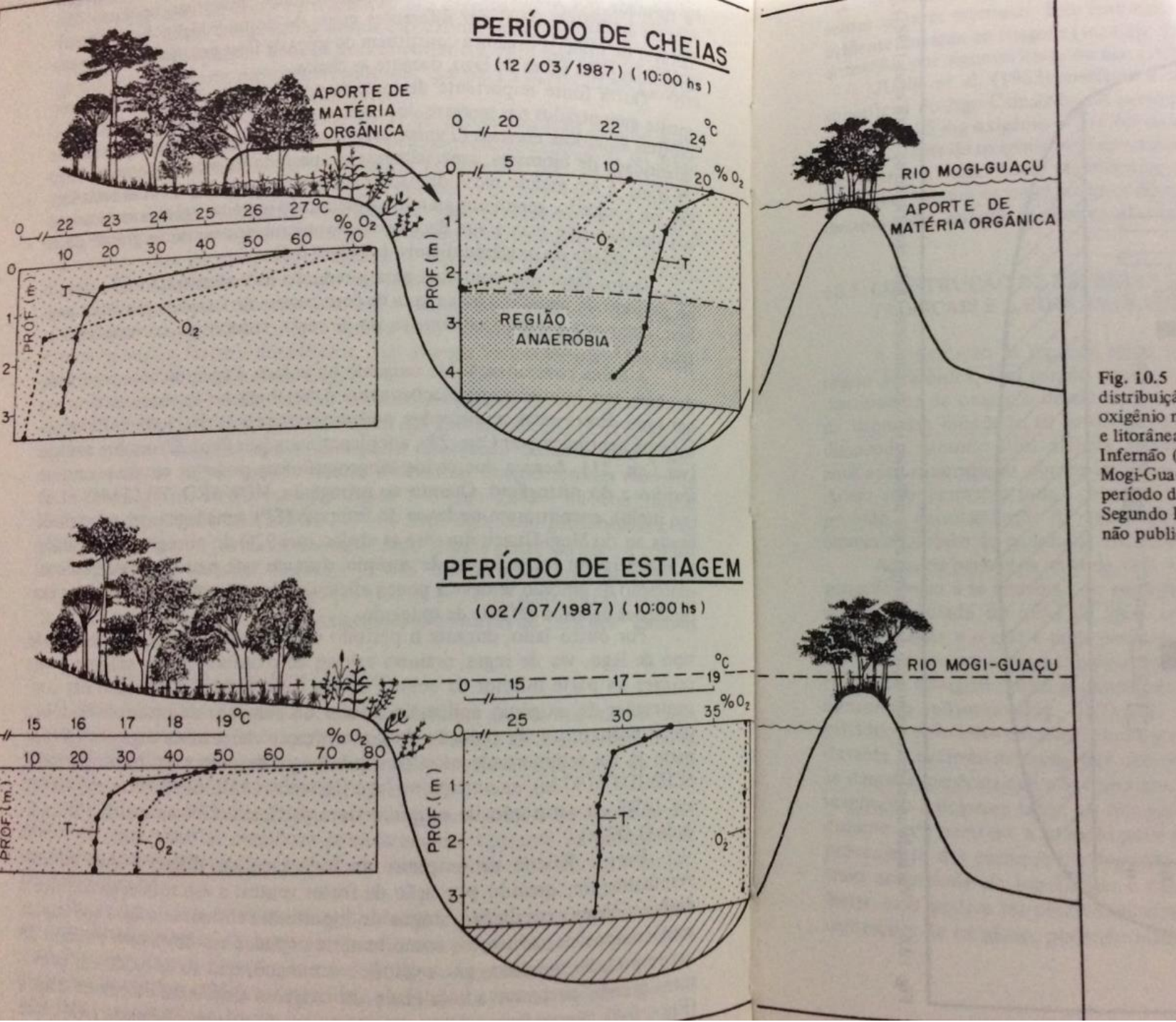


Fig. 10.5 — Padrões de distribuição vertical de oxigênio na região limnética e litorânea da lagoa do Infernão (lagoa marginal do rio Mogi-Guaçu, SP), durante o período de cheia e estiagem. Segundo ESTEVES (dados não publicados)

- Por outro lado, durante a estiagem, são encontrados maiores valores de O<sub>2</sub> (mesmo podendo ocorrer déficit na parte inferior da coluna d'água);
- A elevação da [ ] O<sub>2</sub> no epilímnio resulta do aumento da taxa fotossintética do fitoplâncton e da redução da matéria orgânica (que já começou a ser sedimentada, precipitada ou decomposta).



Schmidt (1973) encontrou, no lago Castanho (AM), às 13:00 horas, valores de até 149% de saturação do oxigênio na superfície e 82% na maior profundidade (1,00 m)

# Construções de represas sobre florestas tropicais

A fitomassa inundada, ao se decompor, consome grande parte do  $O_2$  dissolvido, gerando altos déficits, especialmente no hipolímnio;

Os primeiros anos após a inundação correspondem ao maior déficit;

Assim, não raramente, toda a massa d'água pode ficar desoxigenada;

Após os primeiros anos, a fase critica de desoxigenação passa a se restringir ao período de estiagem;

Neste período, além da falta de O2, também ocorre presença de gás sulfídrico e metano.

- Em lagos rasos com grandes áreas geralmente ocorre distribuição homogênea de oxigênio dissolvido no perfil vertical;
- Em represas é mais complexo
  - Devido a processos de circulação;
  - Distribuição vertical O.D.
- Ex. em áreas inundadas, onde não há desmatamento após enchimento;
  - Condição anóxica permanente;
    - Resultante decomposição vegetal
  - Reoxigenação difícil
    - Circulação horizontal e vertical impedidas (presença vegetação)

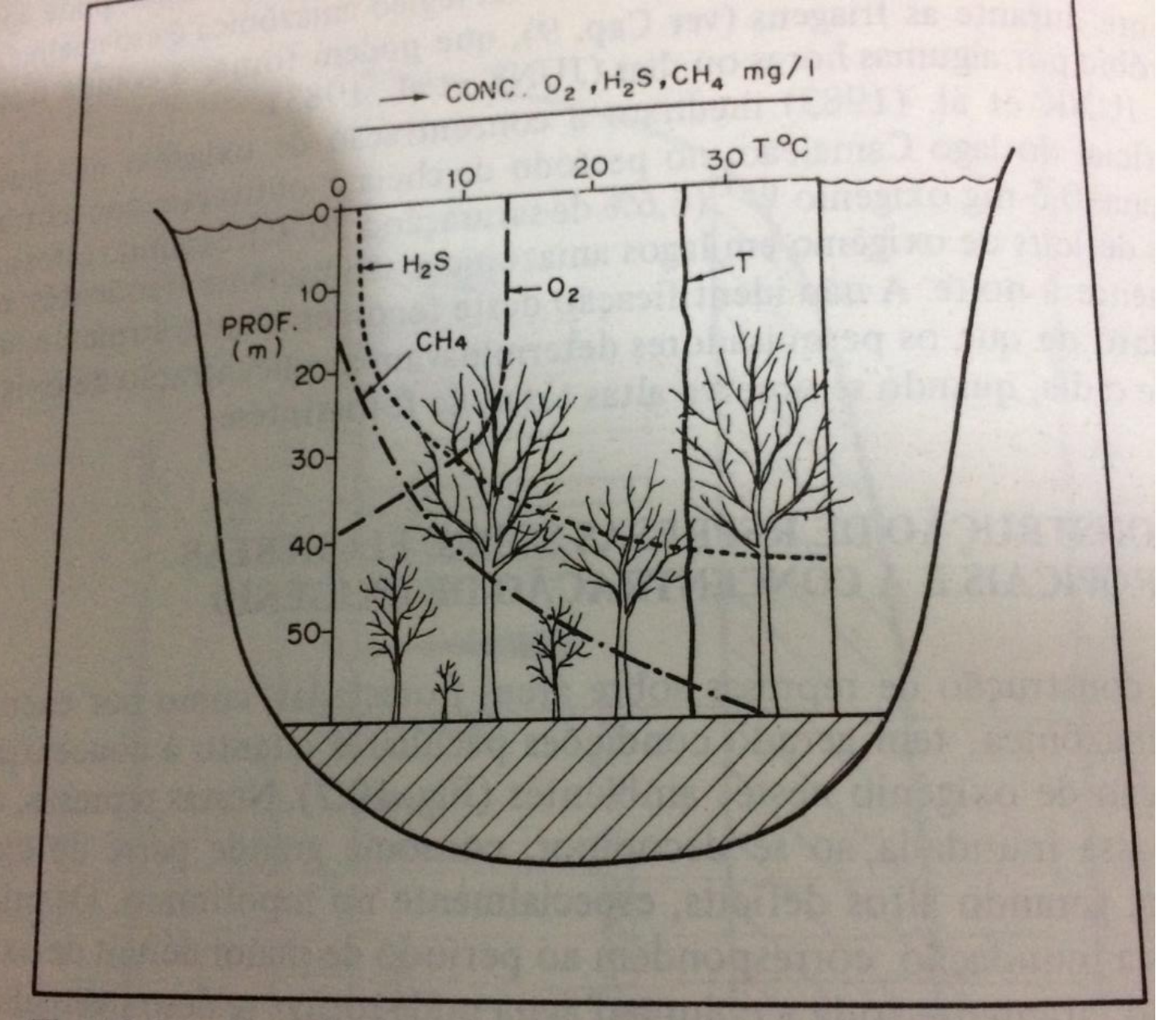


Fig. 10.7 – Distribuição vertical de oxigênio, metano e gás sulfídrico em um reservatório formado sobre floresta tropical (dados hipotéticos)

#### Reservatório de Corumbá

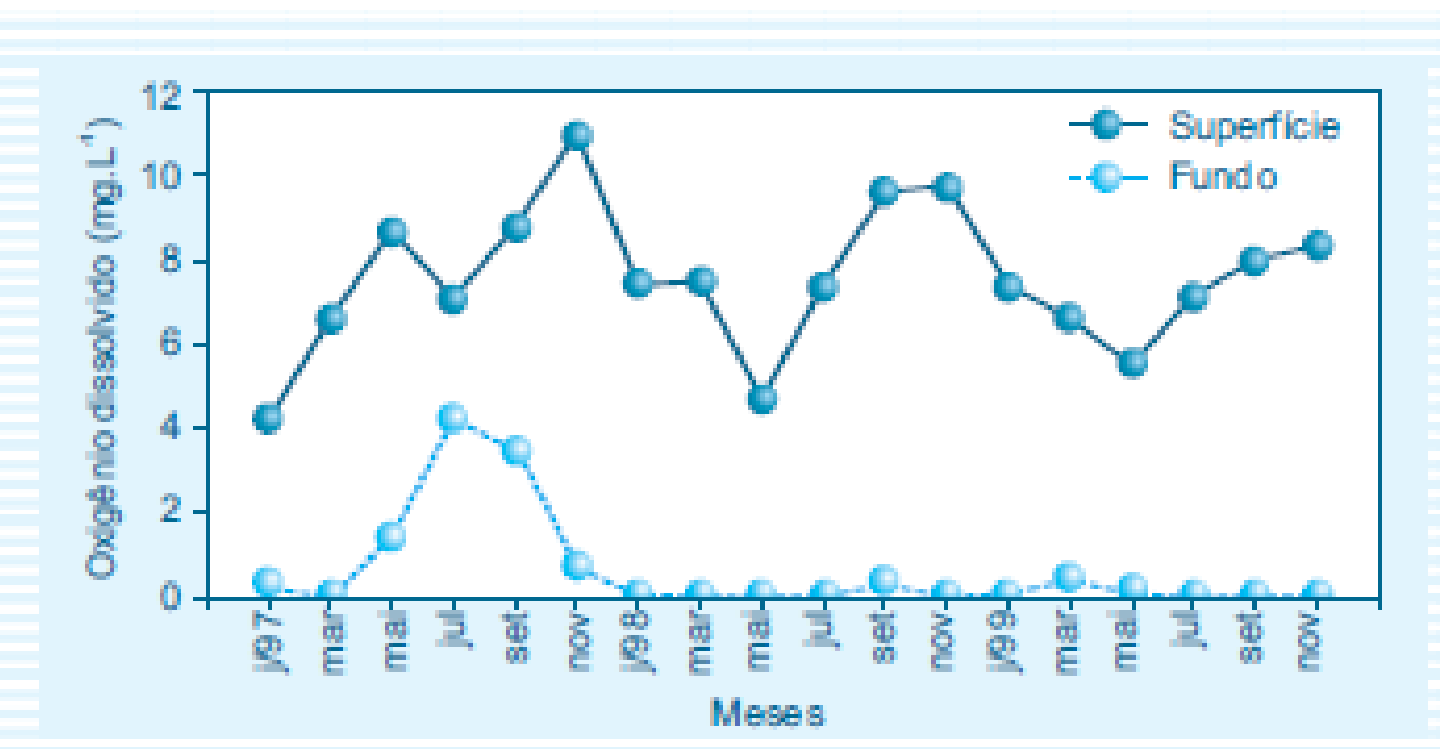
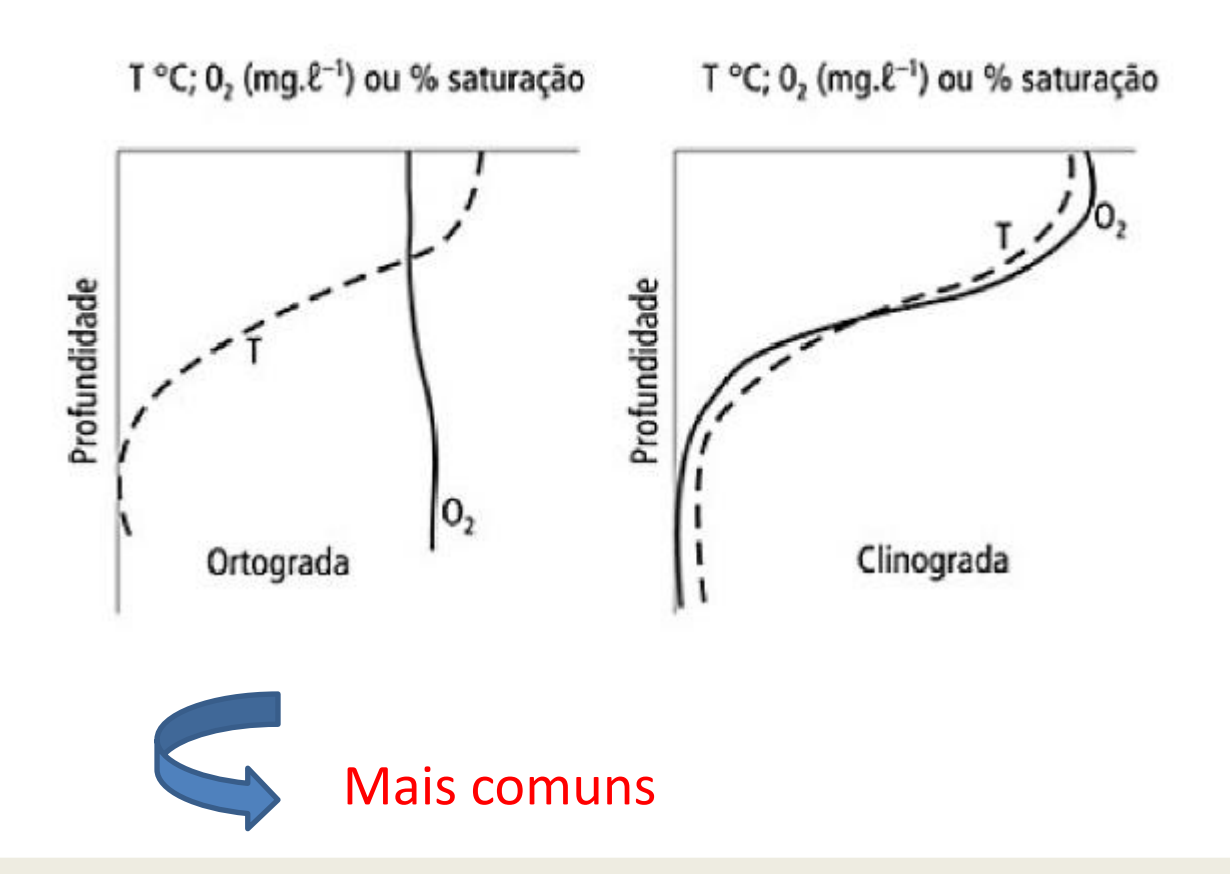


Figura 4.1 - Variações na concentração de oxigênio dissolvido na superficie e no fundo do reservatório de Corumbá, bacia do rio Paraná, nos três anos subsequentes à sua formação (Fonte: THOMAZ; PAGIORO; ROBERTO; PIERINI; PEREIRA, 2001).

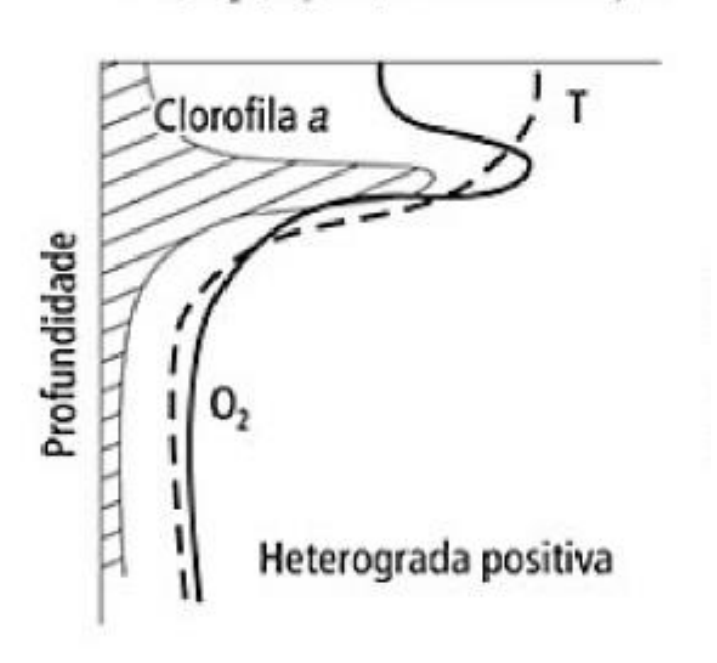
### Anomalias no perfil clinogrado



Porém, em alguns lagos pode ocorrer perfil heterogrado positivo, heterogrado negativo e um caso mais raro, chamado de distribuição anômala

### Heterograda positivo

T°C; 02 (mg.e-1) ou % saturação

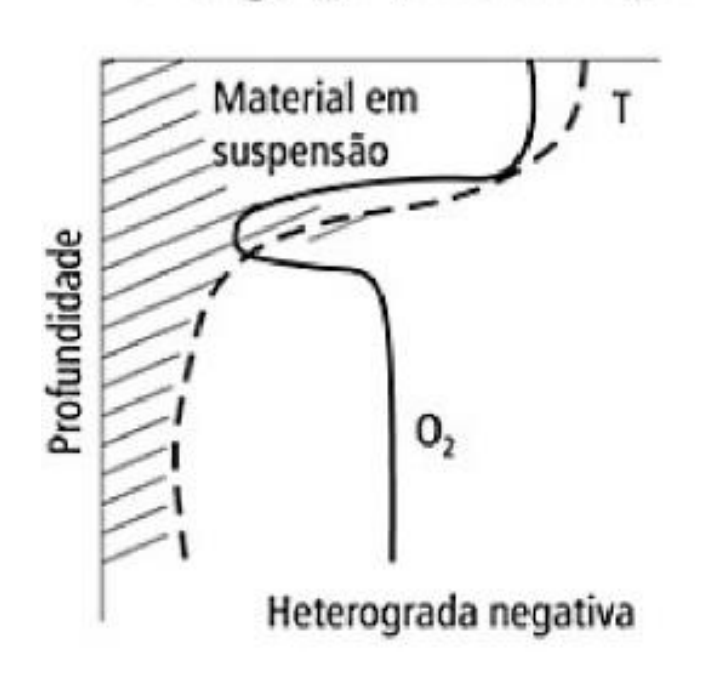


Aumento do fitoplâncton na camada superior devido maior temperatura >> resultando em maior Oxigênio dissolvido;

Pode ultrapassar 300% de saturação.

### Heterograda negativa

T°C; 02 (mg.l-1) ou % saturação

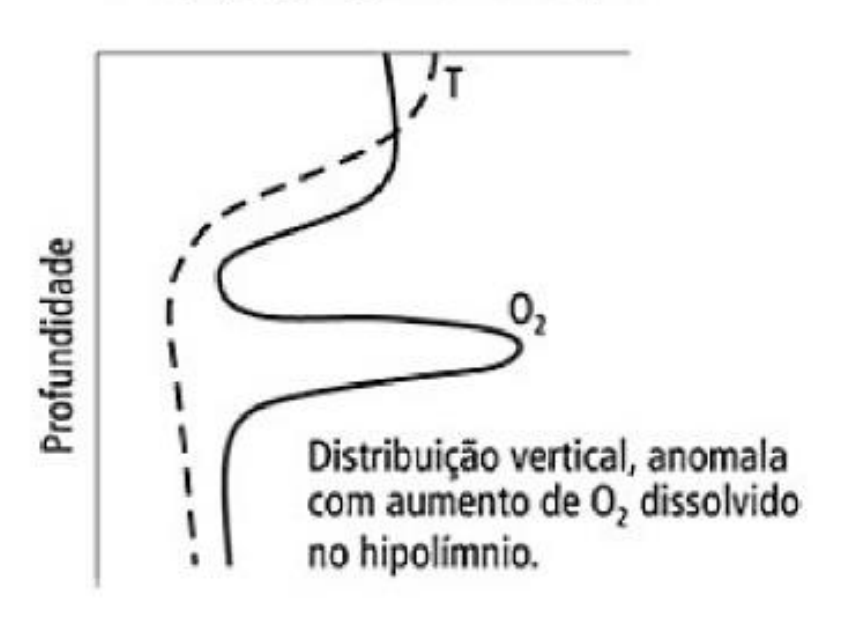


Elevado consumo do O<sub>2</sub> (decomposição ou respiração) no metalímnio;

- Presença de organismos;
- Material em suspensão;
- Alta densidade

### Distribuição anômala

T °C; 02 (mg.٤-') ou % saturação



Ocorre quando há o máximo de O2 no hipolímnio;

Causado por circulação horizontal devido a influxos de águas densas e frias;

Efeito dos rios.



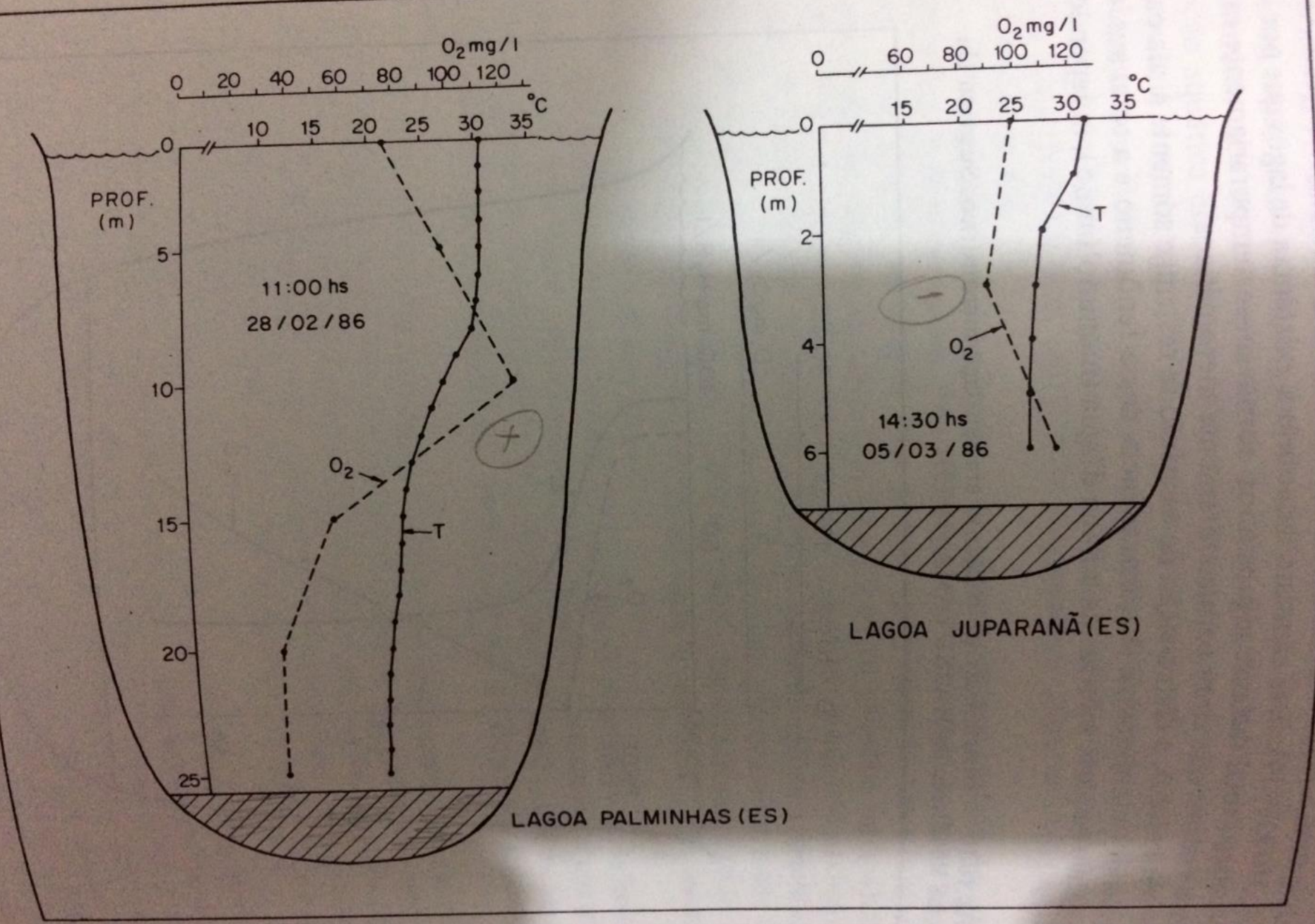


Fig. 10.11 — Perfil de oxigênio do tipo clinogrado positivo (lagoa Palminhas) e negativo (lago Juparaná). Segundo ESTEVES (dados não publicados)

# Distribuição Fosfato na coluna d'água de lagos de regiões temperadas

- Nesses lagos ocorre grande variação das diferentes frações de fosfato na água;
  - Relacionadas principalmente com o desenvolvimento da comunidade fitoplânctonica;
  - Com o estado trófico do lago;
  - Sistema de circulação da massa de água.

- Lagos temperados com perfil ortogrado O<sub>2</sub>:
  - Baixas [ ] de fosfato;
  - Pequenas variações de fosfato de acordo com a profundidade;
  - Maior parte está aderido à colóides e compostos ligados ao Fe (OH)<sub>3</sub> e Fe<sup>+3</sup>.

- Lagos temperados com perfil clinogrado de O<sub>2</sub>:
  - Aumento na [] especialmente no hipolímnio;
    - Liberação de fosfato do sedimento;
      - 2 fatores de liberação:
      - a) Solubilização fosfato por meio processos físicos e químicos (variação potencial oxi-redução) e/ou biológicos;
      - b) difusão fosfato para coluna d'água (movimentação água, maior concentração no sedmento, etc);
- Atividade aquícola?

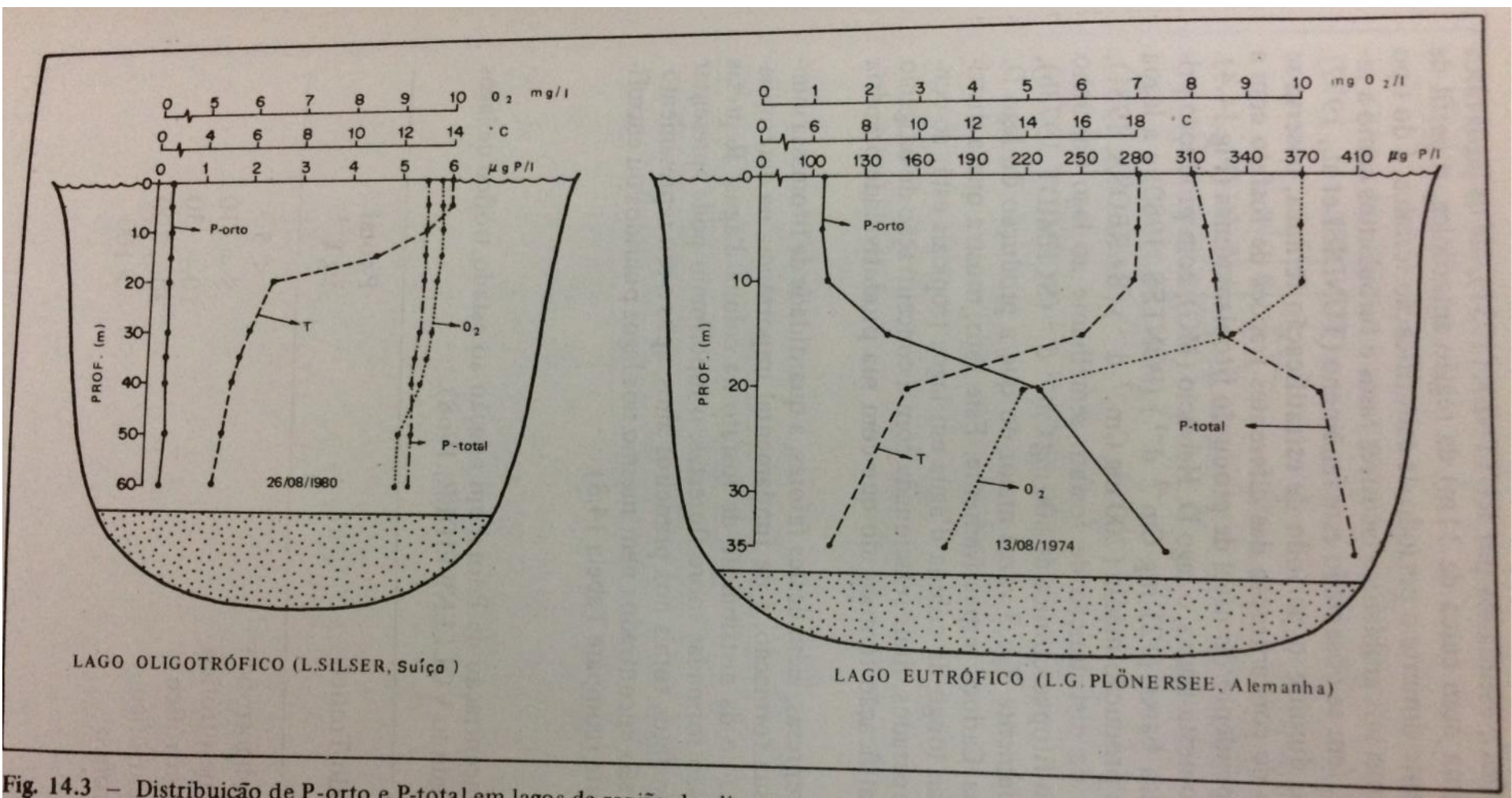


Fig. 14.3 — Distribuição de P-orto e P-total em lagos de região de clima temperado de diferentes estados tróficos. A partir de BLOESCH (dados não publicados) e MÜLLER (1977)

### Distribuição fosfato em lagos tropicais

- A distribuição na coluna d'água não está estreitamente relacionado com o estado trófico do reservatório;
- Há aumento na concentração fosfato com a profundidade, independente da produção fitoplânctonica;
  - Relacionado a concentração de O2 e regime de estratificação térmica;
  - Perfil clinogrado.

- No caso de represas que inundam áreas de florestas, o hipolímnio pode apresentar 1200 µg/L de fosfato nos primeiros anos após o represamento;
  - Esses valores não são encontrados nem em lagos poluídos ou eutrofizados artificialmente;
  - Legislação brasileira CONAMA 357/2005 permite até 50 μg/L se o ambiente for lótico.

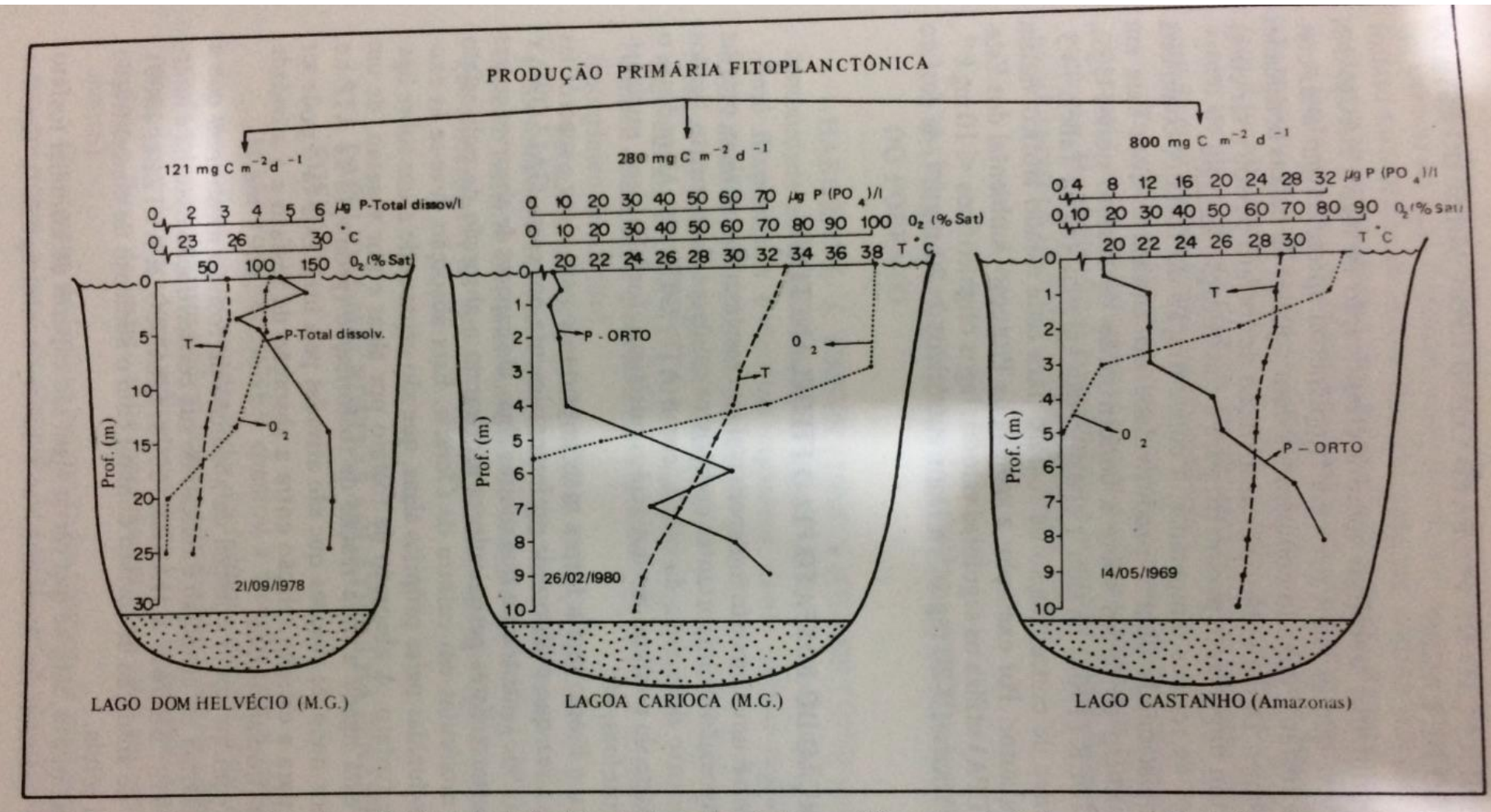


Fig. 14.4 — Comparação entre a distribuição de fosfato em lagos tropicais com diferentes níveis de produtividade fitoplanctônica. Modificado de PONTES (1980), BARBOSA (1981) e SCHMIDT (1973a e 1973b)

### Perfil nitrogênio

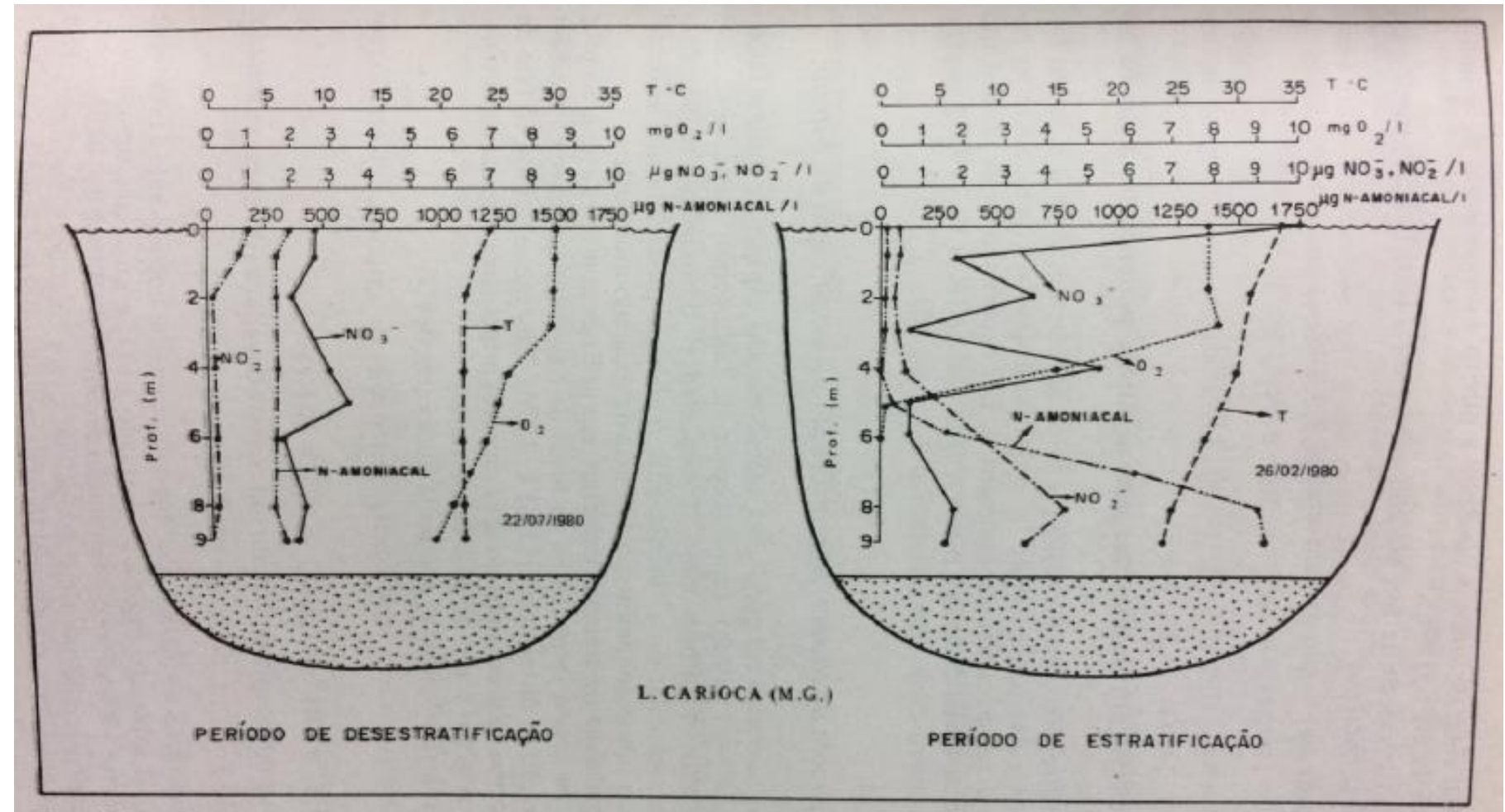


Fig. 13.4 — Distribuição vertical da concentração de nitrito, nitrato e nitrogênio amoniacal na lagoa Carioca (MG), durante o período de desestratificação e estratificação térmica. A partir de dados de BARBOSA (1981)

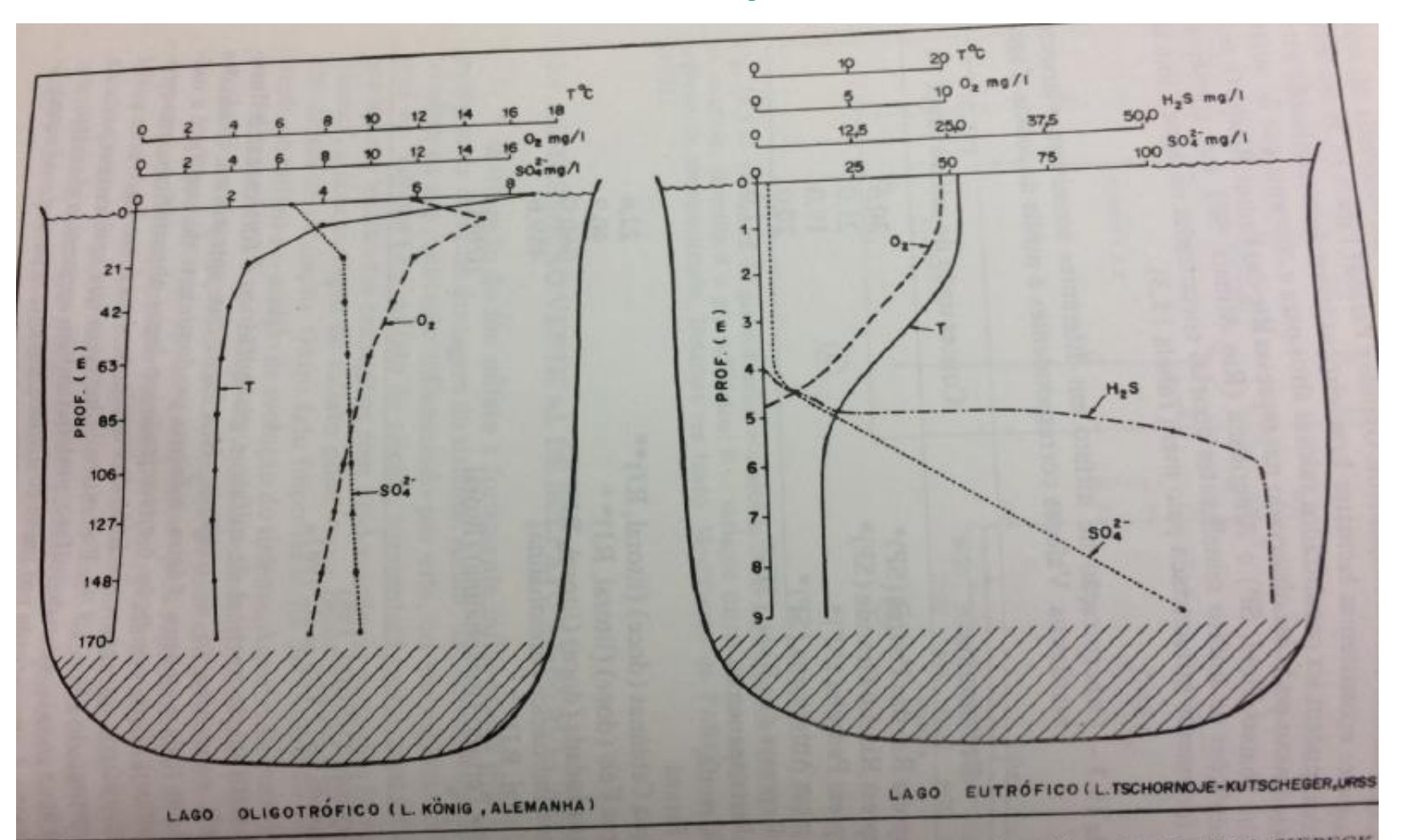
### Reservatório Itaipu (2010)

TABELA 3. Parâmetros físicos e químicos da água do cultivo em diferentes estratos

Variáveis	Epilímnio	Metalímnio	Hipolímnio	C.V. (%)	F (p)
рН	7,39±0,14a	7,49±0,16a	7,35±0,13a	4,34	1,11
Temperatura da água (°C)	30,27±0,48a	29,87±0,36a	29,86±0,28a	3,14	1,47
Oxigênio (mg L <sup>-1</sup> )	5,57±0,49a	5,23±0,77a	5,21±0,76a	12,55	0,27
Condutividade (µS cm <sup>-1</sup> )	44,23±2,81a	46,35±4,54a	45,20±5,68a	8,62	0,22
Nitrito (μg L <sup>-1</sup> )	2,71±1,41b	2,71±1,81b	12,74±5,54a	49,56	11,14
Amônia (μg L <sup>-1</sup> )	35,33±6,85b	43,15±22,10ab	103,11±34,67a	39,75	9,49
Fósforo total (μg L <sup>-1</sup> )	25,75±5,20b	38,52±4,11b	216,02±68,63a	36,9	28,54

Valores na mesma linha seguidos da mesma letra não diferem estatisticamente (P>0,05) pelo teste de Tukey.

## Outros componentes



ig. 15.4 — Distribuição vertical de gás sulfídrico e sulfato em lagos temperados de diferentes estados tróficos. Modificado de SIEBECK (1982) e KUSNETZOW (1959)

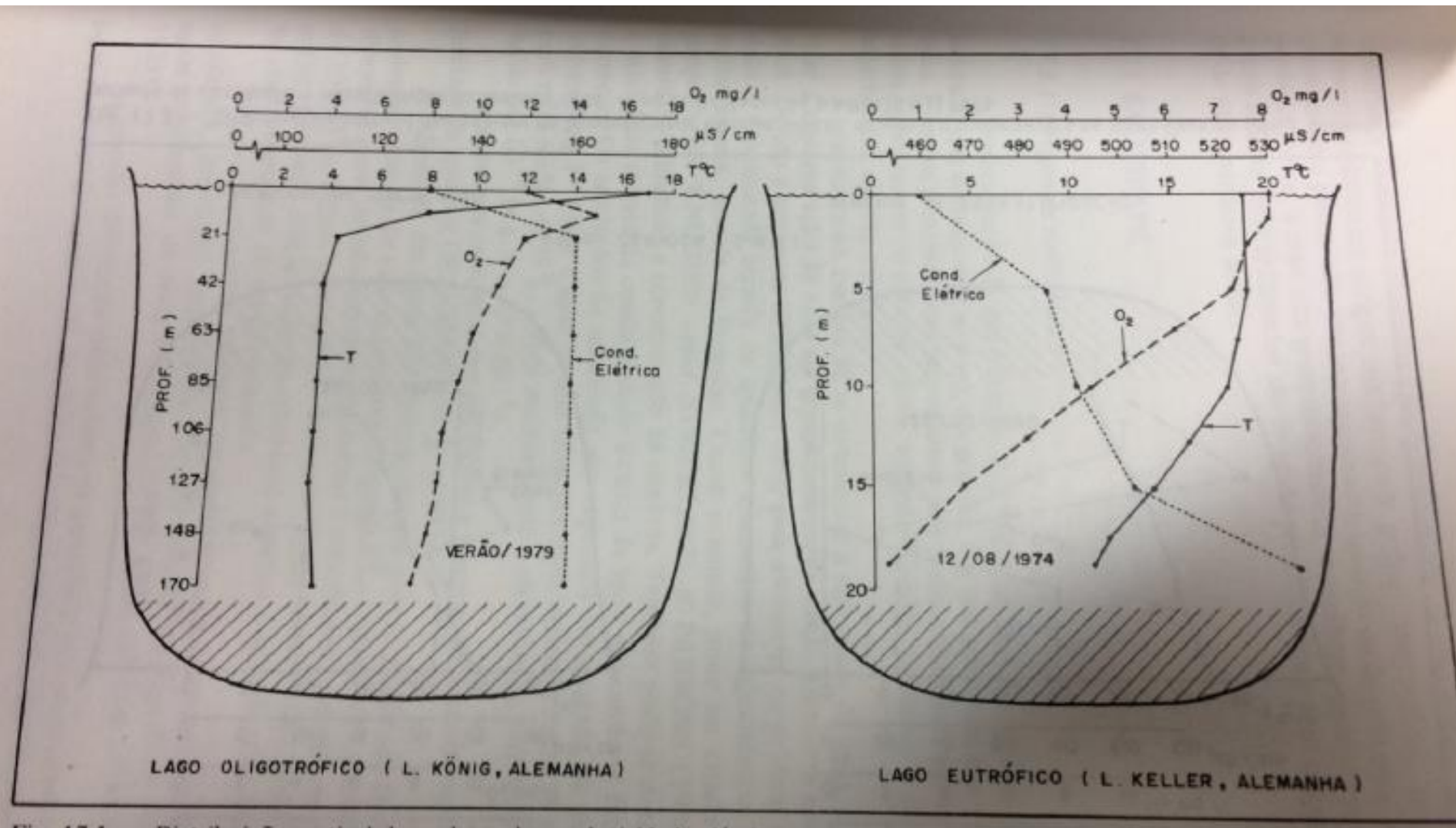


Fig. 17.1 — Distribuição vertical dos valores de condutividade elétrica, temperatura e concentração de O2, em lagos de regiões de chi temperado de diferentes estados tróficos. A partir de dados de SIEBECK, (1982) e MÜLLER (1977)